

**FRIEDRICH-ALEXANDER-UNIVERSITÄT ERLANGEN-NÜRNBERG**  
TECHNISCHE FAKULTÄT • DEPARTMENT INFORMATIK

**Lehrstuhl für Informatik 10 (Systemsimulation)**



**Lösen von Poissongleichungen auf einem simulierten  
Quantencomputer**

Michael Holzmann

Bachelorarbeit

# Lösen von Poissongleichungen auf einem simulierten Quantencomputer

Michael Holzmann

Bachelorarbeit

Aufgabensteller: Prof. Dr. H. Köstler

Betreuer: Prof. Dr. H. Köstler

Bearbeitungszeitraum: 08.11.2018 – 08.04.2019

**Erklärung:**

Ich versichere, dass ich die Arbeit ohne fremde Hilfe und ohne Benutzung anderer als der angegebenen Quellen angefertigt habe und dass die Arbeit in gleicher oder ähnlicher Form noch keiner anderen Prüfungsbehörde vorgelegen hat und von dieser als Teil einer Prüfungsleistung angenommen wurde. Alle Ausführungen, die wörtlich oder sinngemäß übernommen wurden, sind als solche gekennzeichnet.

Der Universität Erlangen-Nürnberg, vertreten durch den Lehrstuhl für Systemsimulation (Informatik 10), wird für Zwecke der Forschung und Lehre ein einfaches, kostenloses, zeitlich und örtlich unbeschränktes Nutzungsrecht an den Arbeitsergebnissen der Bachelorarbeit einschließlich etwaiger Schutzrechte und Urheberrechte eingeräumt.

Erlangen, den 2. April 2019

*Holz*

.....

# Inhaltsverzeichnis

<b>1</b>	<b>Einführung</b>	<b>5</b>
<b>2</b>	<b>Quantum Computing - Rechenmodell und Algorithmen</b>	<b>5</b>
2.1	Qubits und Hilbertraum . . . . .	5
2.2	Operationen mit einem Quantencomputer und Verschränkung von Qubits	7
2.3	Quanten Fourier Transformation . . . . .	8
2.4	Der Phase Kickback und der Phasenbestimmungsalgorithmus . . . . .	9
2.5	Orakelkonstruktion in $Q\#$ . . . . .	10
<b>3</b>	<b>Lösen von Poissongleichungen mit einem simulierten Quantencomputer</b>	<b>12</b>
3.1	Problemdefinition und Anforderungen der Lösung . . . . .	12
3.2	Der Quantenalgorithmus . . . . .	13
3.3	Die Konstruktion des Eingabevektors $\vec{b}$ . . . . .	14
3.4	Phasenbestimmung einer Hamiltoniansimulation . . . . .	16
3.4.1	Hamiltoniansimulation einer eindimensionalen Poissonmatrix . . . . .	16
3.4.2	Hamiltoniansimulation von multidimensionalen Poissonmatrizen	20
3.4.3	Register B und Messung der verschränkten Eigenwerten . . . . .	21
3.5	Kehrwertberechnung der Eigenwerte . . . . .	23
3.5.1	Methode A: Approximation durch feste Eingabe/Ausgabe . . . . .	23
3.5.2	Methode B: Approximation durch Fixpunktiteration . . . . .	25
3.5.3	Vergleich der Methoden . . . . .	27
3.6	Die kontrollierte Rotation und der Amplitudenfaktor . . . . .	28
3.7	Das Modul UNCOMPUTE . . . . .	31
3.8	Ergebnisse und Bewertung des Algorithmuses . . . . .	32
<b>4</b>	<b>Weitere Forschungsmöglichkeiten</b>	<b>35</b>

# 1 Einführung

Im Jahr 1941 stellte Konrad Zuse mit der Zuse Z3 die erste turingmächtige Maschine vor. Der Computer revolutionierte die Gesellschaft und ist heute noch kaum wegzudenken. Während der Entwicklung galt stets das Mooresche Gesetz, welches besagt, dass sich etwa alle 2 Jahre die Anzahl an Transistoren verdoppelt. Dieses Gesetz scheint jedoch seit 2016 langsam an die Grenze zu stoßen, weil die Transistoren so klein werden, dass physikalische Probleme auftauchen. Oft werden CPUs nur noch an der Anzahl der Kerne und weniger an der Frequenz gemessen. Der größte Supercomputer ist „Summit“ mit 2282544 Kernen und 122300 TeraFLOPS (Stand November 2018) <sup>1</sup>. Auch wenn die Parallelität von Computern gesteigert werden kann, so sind einige Aufgaben wie die Primfaktorzerlegung auf einem klassischen Rechner nicht effizient lösbar. Ablöse könnte eine neue Art von Rechenwerk, der Quantencomputer, sein. Quantencomputer basieren auf sogenannten Qubits und nutzen quantenmechanische Effekte aus. Das Prinzip der Superposition und der Verschränkung erlaubt es spezielle Probleme schneller zu lösen als klassische Rechner. Es ist noch unbekannt, ob alle NP-Probleme damit effizient gelöst werden können. Beispielsweise kann man bei der Berechnung von NP-vollständigen Problemen wie 3SAT mit Hilfe von Grover-Iterationen eine quadratische Laufzeitbeschleunigung erreichen. Probleme wie die Primfaktorzerlegung liegen in der Klasse BQP, welche von einem Quantencomputer polynomiell mit einer maximalen Fehlerwahrscheinlichkeit von 33% gelöst werden können. Auch das Lösen von linearen Gleichungssystemen kann mit einem Quantencomputer beschleunigt werden. Grundlage dafür ist der Algorithmus HHL09 [3] von Harrow, Hassidim und Seth Lloyd, der bei linearen Gleichungen mit hermiteschen Matrizen einen exponentiellen Speedup erreichen kann. Basis dieser Idee kann dafür genutzt werden, um Poissongleichungen zu lösen. In dem wissenschaftlichen Artikel „Quantum algorithm and circuit design solving the Poisson equation (Yudong Cao<sup>1</sup>, Anargyros Papageorgiou, Iasonas Petras, Joseph Traub and Sabre Kais)“ [2] wird gezeigt wie ein „Quantenchip“ für beliebige Poissongleichungen aussehen könnte. Ziel der Bachelorarbeit ist es, konkrete Quantenschaltpläne zu entwickeln und diese anhand einer Quantensimulation auf einem klassischen Rechner nach zu vollziehen. Als Laufzeitumgebung für die Simulation des Quantencomputers wird das „Quantum Development Kit“ von Microsoft verwendet.

## 2 Quantum Computing - Rechenmodell und Algorithmen

### 2.1 Qubits und Hilbertraum

In einem klassischen Computer basieren alle logischen Operationen auf Spannungen und Stromflüsse innerhalb von Transistoren. In einem Quantencomputer ist die Ba-

---

<sup>1</sup>Top 500 Liste - <https://www.top500.org/lists/2018/11/>

einander das Qubit. Die Realisierung des Qubits kann dabei sehr unterschiedlich erfolgen. Während das klassische Bit entweder im Zustand 0 oder 1 sein kann, kann das Qubit in einer Überlagerung von Basiszuständen sein. Dieser Zustand basiert auf dem quantenmechanischen Effekt der Superposition. Der Zustand eines Qubits ist definiert durch:

$$|\Psi\rangle = c_1 |0\rangle + c_2 |1\rangle \quad c_1, c_2 \in \mathbb{C}, |c_1|^2 + |c_2|^2 = 1 \quad (1)$$

Alternative:

$$|\Psi\rangle = \cos \frac{\theta}{2} e^{i\phi_1} |0\rangle + \sin \frac{\theta}{2} e^{i\phi_2} |1\rangle \quad \phi_1, \phi_2 \in [0; 2\pi], \theta \in [0; \pi] \quad (2)$$

Eine Messung des Qubits führt mit einer Wahrscheinlichkeit von  $|c_1|^2$  zum klassischen Zustand 0 und mit  $|c_2|^2$  zu 1. In der Spin- $\frac{1}{2}$  Algebra ist bekannt, dass die globale Phase  $\omega \in [0; 1]$  eines Quantenzustandes  $e^{2\pi i \omega} |\Psi\rangle$  keine Rolle spielt.

$$|\Psi\rangle = e^{-i\phi_1} |\Psi\rangle = \cos \frac{\theta}{2} |0\rangle + \sin \frac{\theta}{2} e^{i(\phi_2 - \phi_1)} |1\rangle \quad (3)$$

$\phi_2 - \phi_1$  entspricht der zur  $|0\rangle$  relativen Phase  $\phi$ . Dies ermöglicht es das Qubit mit Hilfe zweier Polarkoordinaten als Bloch Kugel darzustellen. Der Zustandsraum zweier

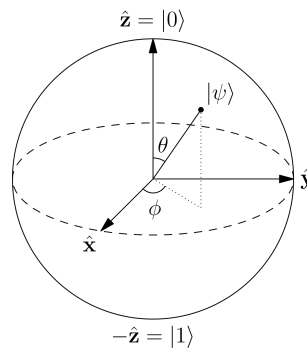


Abbildung 1: Darstellung eines Qubits als Bloch Kugel <sup>2</sup>

Qubits, die sich in den Zuständen  $|\Psi_1\rangle$  und  $|\Psi_2\rangle$  befinden ist definiert durch:

$$|\Psi\rangle = |\Psi_1\rangle \otimes |\Psi_2\rangle \quad (4)$$

$$= (c_1 |0\rangle + c_2 |1\rangle) \otimes (c_3 |0\rangle + c_4 |1\rangle) \quad c_i \in \mathbb{C}$$

$$= c_1 c_3 |00\rangle + c_1 c_4 |01\rangle + c_2 c_3 |10\rangle + c_2 c_4 |11\rangle = \begin{pmatrix} c_1 c_3 \\ c_1 c_4 \\ c_2 c_3 \\ c_2 c_4 \end{pmatrix}$$

<sup>2</sup>Bildquelle: [https://upload.wikimedia.org/wikipedia/commons/thumb/f/f4/Bloch\\_Sphere.svg/800px-Bloch\\_Sphere.svg.png](https://upload.wikimedia.org/wikipedia/commons/thumb/f/f4/Bloch_Sphere.svg/800px-Bloch_Sphere.svg.png)

Ein Quantenregister aus  $n$  Qubits besitzt als Zustand einen  $2^n$  dimensionalen Hilbertraum. Während ein Register eines klassischen Computers sich maximal in einem Zustand befinden kann, kann das Qubitregister  $2^n$  Zuständen gleichzeitig annehmen. Operationen, die mit einem Quantenregister arbeiten, werden durch das Prinzip der Quantenparallelität gleichzeitig für alle klassischen Zustände durchgeführt.

## 2.2 Operationen mit einem Quantencomputer und Verschränkung von Qubits

Neben Messungen eines Quantensystems kann ein Quantencomputer ausschließlich unitäre Operationen durchführen. Das heißt, ein Quantensystem kann mit Hilfe von Messungen projizieren und durch unitäre Operationen umkehrbare Rotationen bzw. Spiegelungen durchführen. Dabei kann jede beliebige unitäre  $2 \times 2$  Matrix durch Rotationen über drei verschiedene Achsen der Blochkugel erfolgen:

$$R_x(\phi) = \begin{pmatrix} \cos \frac{\phi}{2} & -i \sin \frac{\phi}{2} \\ -i \sin \frac{\phi}{2} & \cos \frac{\phi}{2} \end{pmatrix} R_y(\phi) = \begin{pmatrix} \cos \frac{\phi}{2} & -\sin \frac{\phi}{2} \\ \sin \frac{\phi}{2} & \cos \frac{\phi}{2} \end{pmatrix} R_z(\phi) = \begin{pmatrix} e^{-i\frac{\phi}{2}} & 0 \\ 0 & e^{i\frac{\phi}{2}} \end{pmatrix} \quad (5)$$

Zu den wichtigsten Operationen gehören:

$$H = \frac{1}{\sqrt{2}} \begin{pmatrix} 1 & 1 \\ -1 & 1 \end{pmatrix} X = \begin{pmatrix} 0 & 1 \\ 1 & 0 \end{pmatrix} Y = \begin{pmatrix} 0 & -i \\ i & 0 \end{pmatrix} Z = \begin{pmatrix} 1 & 0 \\ 0 & -1 \end{pmatrix} R_\phi = \begin{pmatrix} 1 & 0 \\ 0 & e^{i\phi} \end{pmatrix}$$

Die parallele Ausführung von unitären Operationen  $U_i$  auf unterschiedliche Quantenzustände  $|\Psi_i\rangle$  können dabei mit Hilfe des Kroneckerproduktes zur einer Operation auf den ganzen Hilbertraum umgeformt werden:

$$(U_1 |\Psi_1\rangle) \otimes (U_2 |\Psi_2\rangle) = (U_1 \otimes U_2)(|\Psi_1\rangle \otimes |\Psi_2\rangle) \quad (6)$$

Quantencomputer können mit Hilfe der Quantenverschränkung kontrollierte Operationen durchführen. Dabei werden sie nur dann ausgeführt, falls ein oder mehrere Kontrollqubits jeweils den Zustand  $|1\rangle$  haben. Mit Hilfe dieser Art von Transfor-

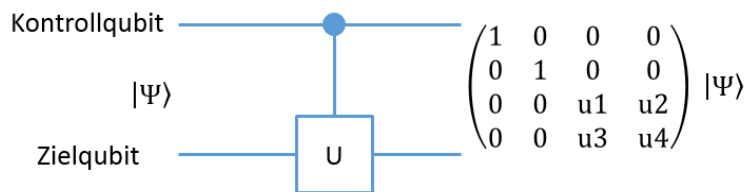


Abbildung 2: Kontrollierte Operation U auf den Zustand  $\Psi$

tionen können beliebige Logikgatter und Logikschaltkreise aus der klassischen Informatik implementiert werden. Abbildung 3 zeigt folgenden Quantenzustand:

$$(H |0\rangle) \otimes |0\rangle = \frac{1}{\sqrt{2}}(|0\rangle + |1\rangle) \otimes |0\rangle = \frac{1}{\sqrt{2}}(|00\rangle + |10\rangle) \xrightarrow{\text{C-NOT}} \frac{1}{\sqrt{2}}(|00\rangle + |11\rangle)$$

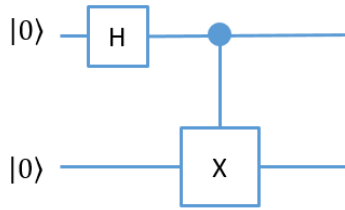


Abbildung 3: Quantenverschränkung mit Hilfe des C-NOT Gatters

Eine Messung eines Qubits würde mit einer Wahrscheinlichkeit von 50% zu  $|0\rangle$  resultieren und den Zustand des anderen Qubits ebenso auf  $|0\rangle$  setzen. Die Messung des einen Qubits beeinflusst also den Zustand des anderen. Die Qubits sind verschränkt zueinander und teilen sich beiden einen nicht separierbaren Zustand.

$$\frac{1}{\sqrt{2}}(|00\rangle + |11\rangle) \neq |\Psi_1\rangle \otimes |\Psi_2\rangle \quad \Psi_1, \Psi_2 \text{ beliebig}$$

Dabei ist zu beachten, dass es sich hierbei nicht um eine Zustandskopie handelt. In Quantensystemen ist es nach dem „No Cloning Theorem“ nicht möglich Quantenzustände zu kopieren. Das „No Cloning Theorem“ ist daher die Basis für die moderne Quantenkryptografie. Für einen Quantensimulator wie das Quantum Development Kit ist es wichtig zu wissen, ob ein System separierbar ist. Ist es komplett verschränkt zueinander, so muss der ganze Hilbertraum gespeichert werden, was zu einem exponentiellen Arbeitsspeicheraufwand führt.

### 2.3 Quanten Fourier Transformation

Mit einem Quantencomputer können auch komplexe Funktionen wie die diskrete Fouriertransformation implementiert werden[1]. Die Quantenfouriertransformation (QFT) die auf  $n = \log_2 N$  angewendet wird, überführt einen  $N$  dimensionalen Hilbertraum in einen Quantenzustand, dessen Amplituden den Fourierkoeffizienten entsprechen:

$$\sum_{j=0}^{N-1} f_j |j\rangle \xrightarrow{\text{QFT}} \sum_{k=0}^{N-1} g_k |k\rangle \quad \text{mit } g_k = \frac{1}{\sqrt{N}} \sum_{j=0}^{N-1} e^{2\pi i j k / N} f_j \quad (7)$$

$R_i$  in Abbildung 4 entspricht einem Phasenverschiebungsgatter  $R_\phi$ , bei dem um die relative Phase  $e^{\frac{2\pi j}{2^i}}$  mit  $j = \sqrt{-1}$  gedreht wird. Durch die Umkehrung des Schaltkreises mit adjungierten Rotationen  $R_i^\dagger$  kann die inverse Fourier Transformation  $QFT^\dagger$  implementiert werden. QFT selbst ist ein wichtiger Teil vieler Algorithmen und kann genutzt werden, um Periodizitäten diskreter Quantenorakel herauszufinden.



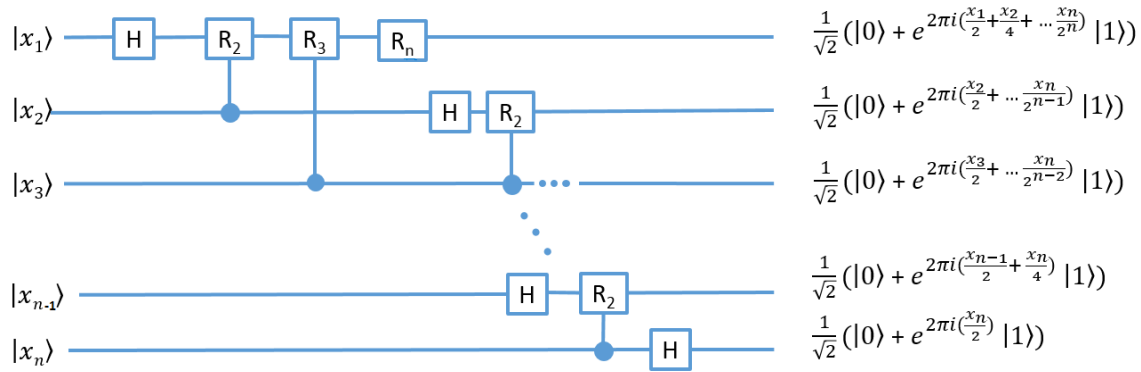


Abbildung 4: Diskrete Quantenfouriertransformation

## 2.4 Der Phase Kickback und der Phasenbestimmungsalgorithmus

Sei  $U$  eine unitäre Operation mit Eigenzustand  $|\Psi\rangle$  und Eigenwert  $e^{2\pi i\omega}$ ,  $\omega \in [0; 1]$ . Die kontrollierte Operation von  $U$  hat folgenden Effekt:

$$\begin{aligned} \frac{1}{\sqrt{2}}(|0\rangle |\Psi\rangle + |1\rangle |\Psi\rangle) &\xrightarrow{C-U} \frac{1}{\sqrt{2}}(|0\rangle |\Psi\rangle + |1\rangle e^{2\pi i\omega} |\Psi\rangle) \\ &= \frac{1}{\sqrt{2}}(|0\rangle + e^{2\pi i\omega} |1\rangle) \otimes |\Psi\rangle \end{aligned}$$

Wenn sich das Kontrollqubit in einer Superposition befindet und das Zielregister im Eigenzustand von  $U$  ist, wird die relative Phase des Kontrollqubits um die Phase  $2\pi\omega$  verschoben. Dieses Phänomen wird „Phase Kickback“ genannt und dient als Basis für viele Quantenalgorithmus wie beispielsweise dem Algorithmus von Deutsch und Josza oder dem Phasenbestimmungsalgorithmus. Das Ziel des Phasenbestimmungsalgorithmus (PEA) ist es, die Phase  $\omega$  zu bestimmen, um wie viel sich die globale Phase des Eigenzustandes  $|\Psi\rangle$  verschiebt, wenn  $U$  darauf angewendet wird:

$$U |\psi\rangle = e^{2\pi i\omega} |\psi\rangle$$

PEA kann also dafür genutzt werden, um eine Eigenwertbestimmung durchzuführen. Abbildung 5 zeigt die Auswirkungen des Algorithmus auf das Quantensystem, welches aus  $|\Psi\rangle$  und  $n = \log_2 N$  Qubits besteht:

$$|0_1\rangle \otimes |0_2\rangle \otimes \dots \otimes |0_n\rangle \otimes |\Psi\rangle \xrightarrow{H_n} \frac{1}{\sqrt{N}}(|0\rangle + |1\rangle)^{\otimes n} \otimes |\Psi\rangle$$

Die Ausführung der kontrollierten Operationen verschieben die Phase der Kontrollqubits:

$$\frac{1}{\sqrt{N}}((|0\rangle + e^{2\pi i 2^{n-1}\omega} |1\rangle) \otimes (|0\rangle + e^{2\pi i 2^{n-2}\omega} |1\rangle) \otimes \dots \otimes (|0\rangle + e^{2\pi i 2^0\omega} |1\rangle)) \otimes |\Psi\rangle$$

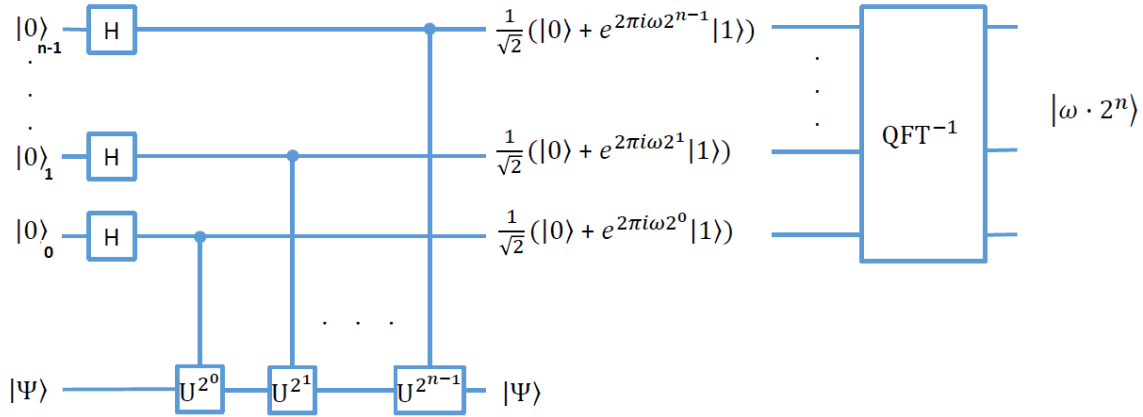


Abbildung 5: Phasenbestimmungsalgorithmus

$$= \frac{1}{\sqrt{N}} \sum_{k=0}^{N-1} e^{2\pi i k \omega} |k\rangle \otimes |\Psi\rangle = \text{QFT}(|2^n \omega\rangle) \otimes |\Psi\rangle$$

Wenn nun die inverse Quantenfouriertransformation auf das Kontrollregister angewendet wird, so ergibt sich der Zustand  $|\omega \cdot 2^n\rangle \otimes |\Psi\rangle$ . Falls statt  $|\Psi\rangle$  ein beliebiger Zustand  $|\Phi\rangle$  benutzt wird, so kann  $|\Phi\rangle$  als Superposition von Eigenzuständen  $u_i$  dargestellt werden:

$$|\Phi\rangle = \sum_j b_j |u_j\rangle \quad \text{mit } b_j = \langle \Phi | u_j \rangle \quad (8)$$

Die Anwendung des Phasenbestimmungsalgorithmus auf  $|\Phi\rangle$  erzeugt folgenden verschränkten Zustand:

$$|00\dots 0_n\rangle |\Phi\rangle \xrightarrow{\text{PEA}} \sum_j b_j |\omega_j 2^n\rangle |u_j\rangle \quad (9)$$

Eine Messung des Kontrollregisters würde mit Wahrscheinlichkeit  $|b_j|^2$  zufällig zum Zustand  $|\omega_j 2^n\rangle |u_j\rangle$  führen. Diese Superposition kann benutzt werden, um lineare Gleichungssysteme zu lösen, welches in Kapitel 3 genauer erläutert wird.

## 2.5 Orakelkonstruktion in $\mathbb{Q}\#$

Bevor Quantenschaltkreise auf einem echten Quantencomputer implementiert werden, werden sie auf einem klassischen Computer getestet. Durch Quantensimulationen können Algorithmen validiert werden und können so ein Hilfsmittel für den Entwurf von Quantenorakel sein. Es gibt viele Quantensimulatoren, die einerseits nur für die Simulation von Quantensystemen, andererseits auch für die Integration auf einem echten Quantencomputer geeignet sind. Es gibt Quantensimulatoren wie Quipper, die auf

funktionalen Sprachen basieren, als auch welche, die imperativ arbeiten und syntaktisch modernen Hochsprachen ähneln. Für diese Arbeit wird das Quantum Development Kit benutzt, welches im Dezember 2017 von Microsoft veröffentlicht worden ist. Der Quantensimulator wird dabei von einer Treiberklasse und einer Operatorklasse definiert. Die Treiberklasse ruft die Simulation auf und kann mit einer .NET Sprache wie C# oder in Python implementiert werden. Die Operationen auf den Qubits selbst werden in der Operatorklasse in der Sprache Q# beschrieben. Q# selbst ist imperativ und unterstützt wie moderne Hochsprache Typkonstrukte, Bedingungen und Schleifen. Operationen können dabei Parameter und Rückgabewerte haben. Innerhalb einer Operation können unitäre Transformationen und Messungen durchgeführt werden. Um Qubits zu erhalten, muss man sie durch einen using-Block initialisieren. Am Ende eines using-Blocks müssen die Qubits wieder freigegeben werden, sodass sie im Nullzustand sind. Dies kann durch die Operation „ResetAll(Qubit[])“ geschehen. Die globale Phase kann dabei verschoben sein und ignoriert werden. Das Quantum Development Kit verfügt über viele Debug-Möglichkeiten wie Assertionen oder Zustandsmessungen. Zudem automatisiert das System Verfahren wie Verschränkung. Wird in der Operatordefinition das Schlüsselwort „controlled auto“ verwendet, so baut das Quantum Development System diesen Operator für beliebig viele Kontrollqubits. Beispielsweise kann die kontrollierte Operation U dann einfach durch den Aufruf „(Controlled U)(Kontrollregister, Zielregister)“ verwendet werden. Dies ermöglicht es, Schaltkreise wie AdvancedCNOT zu definieren. AdvancedCNOT ist eine Bitflip-Operation auf das Zielregister, falls das Kontrollregister einer gegebenen Bitmaske entspricht. Damit können beliebige boolische Quantenschaltkreise implementiert werden, indem pro Ein- und Ausgabecodierung ein AdvancedCNOT verwendet wird. Die vierte Zeile von Abbildung 15 wird durch AdvancedCNOT(Kontrollregister, Zielregister, [false;true;false;true], [false;false;true;true;false;false;true;true]) implementiert. Die Ausführung dieser Operation auf ein Zielregister im Nullzustand ist:

$$\begin{aligned} |0000\rangle |00000000\rangle &\xrightarrow{\text{AdvCNOT}} |0000\rangle |00000000\rangle \\ |0101\rangle |00000000\rangle &\xrightarrow{\text{AdvCNOT}} |0101\rangle |00110011\rangle \end{aligned}$$

Die Implementierung dieses Gatters wird in Q# wie folgt implementiert:

```
operation advancedCNOT(control register: Qubit[], target: Qubit[],
    control modifier: Bool[], target modifier: Bool[]): () {
    body {
        for (i in 0..Length(control register)-1) {
            if (!control modifier[i]) {
                X(control register[i]);
            }
        }
        for (i in 0..Length(target)-1) {
            if (target modifier[i]) {
                (Controlled X)(control register, target[i]);
            }
        }
        for (i in 0..Length(control register)-1) {
```



Diese Zerlegung spielt eine wichtige Rolle bei der Implementierung der Hamiltoniansimulation dieser Matrix.

Um  $u^{(m-1)^d}$  mit  $M+1$  Gitterpunkten und  $d$  Dimensionen zu erhalten, muss ein lineares Gleichungssystem mit einer  $(M-1)^d \times (M-1)^d$  Matrix gelöst werden. Klassische Verfahren würden dieses Problem beispielsweise mit iterativen Verfahren wie dem CG-Verfahren in  $\mathcal{O}((M-1)^d)$  lösen. Das Verfahren, welches in dem Artikel "Quantum algorithm and circuit design solving the Poisson equation" [2] vorgestellt wird, kann effektiv eine exponentielle Laufzeitbeschleunigung mit Hilfe eines Quantencomputers erzielen. In einem Quantensystem können Zustände nur einen normierten Hilbertraum annehmen. Aus diesem Grund muss zur Eingabecodierung der Eingabevektor  $\vec{b}$  und zur Ausgabecodierung der Lösungsvektor  $\vec{u}$  die Länge 1 haben. Das bedeutet, dass für beliebig normierte Eingaben  $\vec{b}$  der Quantenalgorithmus nur die normierte Lösung  $\vec{u}$  der Gleichung ausgibt. Folglich liegt die Lösung im Raum  $\vec{u} \cdot \alpha$  mit  $\alpha$  beliebig. Wird als Eingabe ein normierter Eigenvektor der Poissonmatrix eingegeben, so erzeugt der Quantenalgorithmus keine weiteren Informationen, da die Lösung der Eingabe entspricht.

### 3.2 Der Quantenalgorithmus

Abbildung 6 zeigt den Schaltkreis für den Quantenalgorithmus, der in "Quantum algorithm and circuit design solving the Poisson equation" gezeigt wird. Der Algorithmus

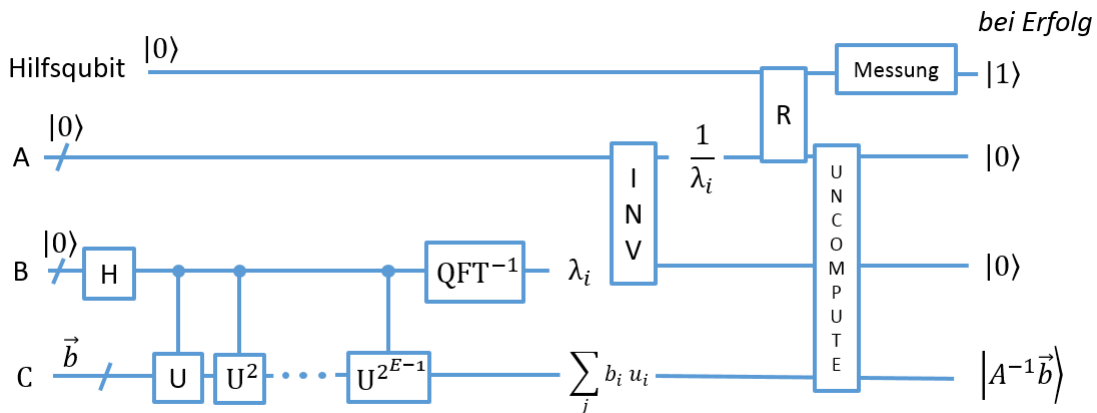


Abbildung 6: Schaltkreis für das Lösen der Poissongleichung

besteht dabei aus folgenden Schritten:

- Konstruiere in Register C den Zustand  $\sum_j \beta_j |j\rangle$ . Dabei entsprechen  $\beta_j$  den Elementen des normierten Eingabevektors  $\vec{b}$ .
- Wende den Phasenbestimmungsalgorithmus (PEA) mit Hilfe eines Kontrollregisters B und der Hamiltoniansimulation  $U = e^{\frac{1}{n^2}At}$  mit  $t = 2\pi i \frac{1}{2E}$  auf das

Register C an. E entspricht dabei die Anzahl der Qubits von Register B. Register C und B befinden sich dann im verschränkten Zustand  $\sum_j b_j |\sim \lambda_j\rangle |\vec{u}_j\rangle$  mit  $b_j = \langle \vec{b} | \vec{u}_j \rangle$ .  $\lambda_j$  ist der zum Eigenvektor  $\vec{u}_j$  gehörende Eigenwert.

- Berechne den Kehrwert  $\frac{1}{\lambda_j}$  in Register A. Das System befindet sich dadurch in  $\sum_j b_j |\frac{1}{\sim \lambda_j}\rangle |\sim \lambda_j\rangle |\vec{u}_j\rangle$
- Versetze das System mit Hilfe kontrollierter Rotationen auf ein Hilfsqubit in den Zustand:  $\sum_j b_j |\frac{1}{k_j}\rangle |k_j\rangle |\vec{u}_j\rangle (\sqrt{1 - \frac{\alpha^2}{k_j^2}} |0\rangle + \frac{\alpha}{k_j} |1\rangle)$  mit  $k_j = \sim \lambda_j$  und dem Amplitudenfaktor  $\alpha$ , der benutzt werden kann, um die Erfolgswahrscheinlichkeit des Algorithmuses zu verbessern.
- Kehre mit Hilfe adjungierter Operationen alle Berechnungen um, die in Register B und C statt gefunden haben. Das heißt die Kehrwertberechnung und PEA werden rückgängig gemacht, wodurch die Qubits in Register C und B im Nullzustand sind. Das Quantensystem lässt sich dann wie folgt beschreiben:  $\sum_j b_j |0\rangle |0\rangle |\vec{u}_j\rangle (\sqrt{1 - \frac{\alpha^2}{k_j^2}} |0\rangle + \frac{\alpha}{k_j} |1\rangle)$
- Führe eine Messung an dem Hilfsqubit durch. Ist es in dem Zustand  $|1\rangle$ , so hat der Algorithmus Erfolg, weil der Zustand in den Raum der normierten Lösung projiziert worden ist:  $C \sum_j b_j \frac{\alpha}{k_j} |\vec{u}_j\rangle |1\rangle = CA^{-1} \vec{b} |1\rangle$ . C beschreibt eine Normalisierungskonstante und sorgt für die Normiertheit des Systems. Ist der Zustand des gemessenen Qubits  $|0\rangle$ , so ist der Algorithmus fehl geschlagen und muss von Vorne gestartet werden.

### 3.3 Die Konstruktion des Eingavektors $\vec{b}$

Die Konstruktion eines beliebig normierten Eingavektors  $\vec{b}^{(M-1)^d}$  zu  $\sum_{j=1}^{(M-1)^d} \beta_j |j\rangle$  verlangt  $\log_2(M^d)$  Qubits. Falls die eindimensionale Poissongleichung gelöst werden soll, so hat Register C  $\log_2(M)$  Qubits und kann M verschiedene klassische Zustände (gleichzeitig) annehmen. Hier ist zu beachten, dass das Quantenregister einen Zustand mehr zur Verfügung hat, da nur M-1 Zustände codiert werden müssen. Deshalb dient Zustand  $|1\rangle$  und nicht  $|0\rangle$  als Eingabe- und Ausgabestand für den Wert  $\beta_1$ . Zustand  $|0\rangle$  kommt daher nicht vor und hat somit die Amplitude 0. Die Konstruktion von  $|0..0_{\log_2 M}\rangle$  zu  $\sum_{j=1}^{M-1} \beta_j |j\rangle$  kann dabei mit Hilfe eines Quantenorakels erfolgen. In dem Artikel „Efficient state preparation for a register of quantum bits“ [8] wird beschrieben, dass  $\vec{b}$  mit einer polynomiellen Gatterlaufzeit bezüglich Qubitanzahl erzeugt werden kann, solange die Amplituden  $\beta_i$  effizient berechnet werden können. In dieser Arbeit werden Eingaben verwendet, die sehr einfach mit Hilfe weniger Gatter zu realisieren

sind. Beispielsweise kann  $\vec{b} = \begin{pmatrix} 1 \\ 0 \\ 0 \end{pmatrix}$  so erzeugt werden:

```

    (using b = Qubits[2]){
        X(b[0]);
    }

```

oder  $\vec{b} = \frac{1}{2} (1 \ 0 \ 1 \ 0 \ 1 \ 0 \ 1)^T$

```

    (using b = Qubits[3]){
        X(b[0]);
        H(b[1]);
        H(b[2]);
    }

```

Um kompliziertere Eingaben zu konstruieren können über das Quantum Development Kit mit der Operation „PrepareArbitraryState( coefficients: ComplexPolar[], qubits : BigEndian)“ die Amplituden direkt gesetzt werden. Bei Poissongleichungen mit  $d$  Dimensionen sind  $\mathcal{O}(\log_2(M)d)$  Qubits für die Eingabe nötig. Dabei ist jeder klassische Zustand  $|j\rangle$  nur dann valide, falls er folgende Eigenschaft erfüllt:

$$|j\rangle = |\Psi_1\rangle \otimes |\Psi_2\rangle \otimes \dots \otimes |\Psi_d\rangle \text{ mit } |\Psi_i\rangle \neq |0\rangle$$

$|\Psi_i\rangle$  beschreibt den Zustand für einen  $\log_2 M$  Qubitblock. Der Grund für diese Bedingung ist die parallele Ausführung der Hamiltoniansimulation der eindimensionalen Poissongleichung, welches in Kapitel 3.4.2 genauer erläutert wird. Da Zustand  $|0\rangle$  stets die Amplitude null hat, darf auch bei einer validen Konstruktion einer multidimensionalen Eingabe  $|\Psi_i\rangle$  nicht  $|0\rangle$  sein. Somit sind alle Zustände invalide, deren binäre Repräsentation einen  $\log_2(M)$  Qubit Block besitzen, der im Zustand  $|0\rangle$  ist. Bei  $M=4$  und  $d=2$  wird  $\beta_1$  nicht durch  $|0001\rangle = |1\rangle$ , sondern durch  $|0101\rangle = |5\rangle$  codiert, da  $|1\rangle$  aus  $|00\rangle \otimes |01\rangle$  besteht und die Eigenschaft nicht erfüllt. Der Algorithmus ersetzt bei Erfolg das Eingaberegister mit der Lösung  $\vec{u}$ , weshalb diese Zustandscodierung ebenfalls für die Ausgabe zutrifft. Abbildung 18 zeigt die Codierungstabelle für die Ein- und Ausgabe in Register C bei  $M=4$  und  $d=2$  ( $(M - 1)^d$  Zustände).

i	Zustand im Register C
1	$ 5\rangle$
2	$ 6\rangle$
3	$ 7\rangle$
4	$ 9\rangle$
5	$ 10\rangle$
6	$ 11\rangle$
7	$ 13\rangle$
8	$ 14\rangle$
9	$ 15\rangle$

Abbildung 7: Ein- und Ausgabecodierung für  $M=4$  und  $d=2$

### 3.4 Phasenbestimmung einer Hamiltoniansimulation

Ziel dieses Kapitels ist es, den Eingabezustand  $\vec{b}$  mit Hilfe des Phasenbestimmungsalgorithmuses in eine Superposition von verschränkten Zuständen  $\sum_j b_j |\sim \lambda_j\rangle |\vec{u}_j\rangle$  zu bringen. Wichtig dabei ist es, die eindimensionale Poissonmatrix  $\frac{1}{\hbar^2} A_1$  zu simulieren. Da diese Matrix nicht unitär ist, muss diese Operation durch eine Hamiltoniansimulation  $e^{\frac{t}{\hbar^2} A_1}$  durchgeführt werden. Hamiltonian Simulationen spielen bei der Simulation von Quantensystemen eine wichtige Rolle. Mit Hilfe von Hamiltoniansimulationen können Dynamiken von Molekülsystemen simuliert werden, weshalb dies das wichtigste Anwendungsgebiet in der „Quantum Chemistry“ ist. Es kann gezeigt werden[7], dass dünnbesezte und hermitesche Matrizen  $A$  effizient simuliert werden können, solange  $A$  durch eine Linearkombination von einfach implementierbaren Matrizen darstellbar ist. Seien  $\lambda_1, \lambda_2, \dots, \lambda_{M-1}$  die Eigenwerte von  $\frac{1}{\hbar^2} A_{d=1}$  mit  $\lambda_i \leq \lambda_{i+1}$ , so sind  $e^{t\lambda_i}$  die Eigenwerte der Hamiltoniansimulation. Wird für  $t = 2\pi i k$  und  $k = \frac{1}{2^E}$  (mit Register B aus  $E$  Qubits) gewählt, so entspricht die Phase von  $e^{2\pi i k \lambda_i}$  den  $\frac{1}{2^E}$ -fachen Eigenwerte von  $\frac{1}{\hbar^2} A_1$ . Die Phasenbestimmung der Hamiltoniansimulation erzeugt aus  $\vec{b}$  den folgenden Zustand:

$$|0\dots 0_E\rangle \otimes |\vec{b}\rangle \xrightarrow{\text{PEA}} \sum_{j=1}^{M-1} b_j |\sim \lambda_j k \cdot 2^E\rangle |\vec{u}_j\rangle = \sum_{j=1}^{M-1} b_j |\sim \lambda_j\rangle |\vec{u}_j\rangle \quad (13)$$

#### 3.4.1 Hamiltoniansimulation einer eindimensionalen Poissonmatrix

Die effiziente Implementierung der Hamiltoniansimulation gehört zu den schwierigsten Problemen des Algorithmuses. Für das Matrixexponential  $e^{\frac{t}{\hbar^2} A_1}$  kann der Spektralsatz verwendet werden [2]:

$$e^{\frac{t}{\hbar^2} A_1} = S e^{t\Delta} S \text{ mit } \Delta = \begin{pmatrix} \lambda_1 & 0 & 0 & 0 \\ 0 & \lambda_2 & 0 & 0 \\ 0 & 0 & \ddots & 0 \\ 0 & 0 & 0 & \lambda_{M-1} \end{pmatrix} \quad (14)$$

$S$  beschreibt dabei die Matrix der diskreten Sinustransformation mit Größe  $(M-1) \times (M-1)$ .  $S_{i,j} = \sqrt{\frac{2}{M}} \sin(\frac{\pi i j}{2M})$   $i, j = 1, \dots, M-1$ . Die Implementierung dieser Matrix geschieht mit Hilfe der Quantenfouriertransformation. Folgender Zusammenhang





```

    (Controlled Adjoint B)(qubits[0..Length(qubits) - 1],
      ancilla);
  for (i in 0..Length(qubits) - 1) {
    X(qubits[i]);
    CNOT(ancilla, qubits[i]);
  }
  (Controlled P)([ancilla], qubits[0..Length(qubits) - 1]);
}
adjoint auto controlled auto adjoint controlled auto
}

```

Wenn das Hilfsqubit als Initialwert den Zustand  $|0\rangle$  hat, so wird der obere linke Block der Matrix durchgeführt. Da die diskrete Sinustransformation implementiert werden muss, wird das Hilfsqubit vorher auf  $|1\rangle$  gesetzt, wodurch der untere rechte Block und damit die Matrix  $\begin{pmatrix} c & 0 \\ 0 & -iS \end{pmatrix}$  durchgeführt wird.  $c \in \mathbb{C}$  beschreibt dabei den letzten Eintrag der Matrix  $C$ . Weil durch die in Kapitel 3.3 definierte Konstruktionsvorschrift der Zustand  $|0\rangle$  nicht existiert, kommt die Ausführung der ersten Zeile nicht vor, wodurch  $c$  keine Rolle spielt. Um die Hamiltoniansimulation  $e^{\Delta t}$  zu konstruieren, müssen zuerst die Eigenwerte von  $A_1$  ermittelt berechnet werden.  $A_1$  ist eine tridiagonale Matrix in der Form einer Toeplitzmatrix und hat somit die Eigenwerte[5]:

$$\lambda_j = 4M^2 \sin^2\left(\frac{j\pi}{2M}\right) \text{ mit } j = 1, \dots, M - 1 \quad (16)$$

Ziel ist es also ein Quantenorakel zu entwerfen, welches  $|j\rangle |00\dots 0_s\rangle$  zu einen verschränkten Zustand  $|j\rangle |\lambda_j\rangle$  transformiert. Dabei bestimmt  $s$  die Anzahl der Qubits, welche  $\lambda_j$  codieren. In dem Referenzartikel[2] wird beschrieben wie der Sinus mit wiederholten Quadrieren der Taylorentwicklung einer komplexen Zahl approximiert werden kann.

$$\sin(x) = \Im(e^{ix}) = \Im((e^{ix/r})^r) \text{ mit } r = 2^b \quad b \in \mathbb{R} \quad (17)$$

$$e^{ix/r} \sim 1 - \frac{ix}{r} + \frac{x^2}{r^2} = W_1 \quad (18)$$

Durch kontrollierte Operationen können beliebige Logikgatter der klassischen Informatik implementiert wird. Der wissenschaftliche Artikel „Quantum Networks for Elementary Arithmetic Operations“[9] zeigt, dass dadurch auch arithmetische Operationen wie Addition und Multiplikation durchgeführt werden können. Im ersten Schritt muss  $W_1$  erzeugt werden. Da diese Zahl komplex ist, werden zwei Register der Größe  $s$  benötigt, die den imaginären und reellen Teil darstellen.

$$|j\rangle |0\rangle^s |0\rangle^s \rightarrow |j\rangle \left| \frac{\pi j}{r2M} \right\rangle \left| 1 - \frac{\pi^2 j^2}{r^2 4M^2} \right\rangle \quad (19)$$

Die Divisionen selbst müssen nicht arithmetisch implementiert werden. Da  $r$  und  $M$  Exponenten der Basis 2 sind, kann die Division durch Shiften oder Uminterpretation der Qubitwertigkeit geschehen.  $W_1$  wird dann schrittweise  $\log_2(r)$  mal quadriert:

$$|\Im(W^{2^k})\rangle |\Re(W^{2^k})\rangle |0\rangle^s |0\rangle^s \rightarrow |\Im(W^{2^k})\rangle |\Re(W^{2^k})\rangle |\Im(W^{2^{k+1}})\rangle |\Re(W^{2^{k+1}})\rangle \quad k = 1, \dots, \log_2(r) \quad (20)$$

Dabei werden pro Schritt 2 Register aus  $s$  Qubits zusätzlich benötigt. Nach diesen Schritten muss das Register  $|\mathfrak{S}(W^r)\rangle$  noch mit  $\frac{4M^2 2\pi}{2^E} 2^e$  multipliziert werden. Nach

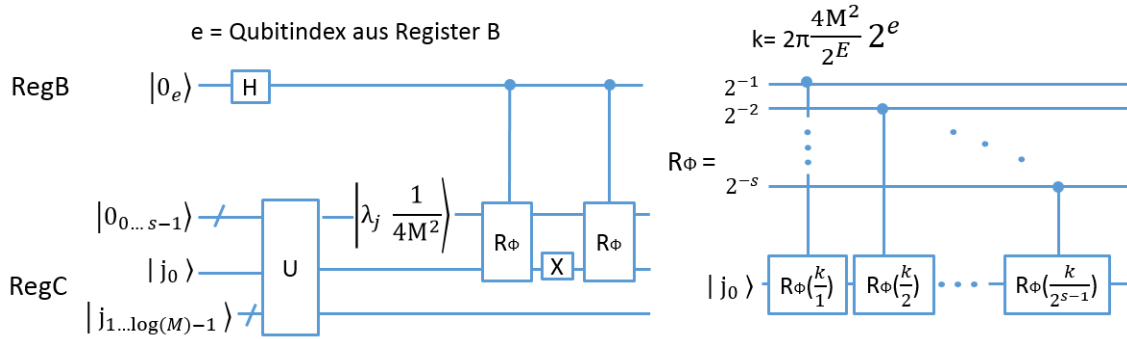


Abbildung 10: Schaltkreis zum Phasekickback der Eigenwerte

dem die Eigenwerte  $\lambda_j$  berechnet wurden, müssen die relative Phasen der Kontrollqubits aus Register B mit Hilfe des „Phase Kickbacks“ um den Eigenwert verschoben werden. Dies kann erreicht werden, indem man eine globale Phasenverschiebung mit den Eigenwerten auf Register C anwendet. Diese Operation kann mit Hilfe von  $2s$  kontrollierten Phasenverschiebungsgattern  $R_\phi$  realisiert werden, welche in Abbildung 10 zu sehen sind. Dabei kann der Faktor  $k = \frac{4M^2 2\pi}{2^E} 2^e$  direkt in den Phasenverschiebungsgattern als skalarer Faktor benutzt werden. Der erzeugte Zustand, welchen der Schaltkreis zeigt, befindet sich in:

$$\begin{aligned} \frac{1}{\sqrt{2}}(|0\rangle + |1\rangle) \otimes |j\rangle |0\rangle^s &= \frac{1}{\sqrt{2}}(|0\rangle |j\rangle |0\rangle^s + |1\rangle |j\rangle |0\rangle^s) \\ &\xrightarrow{U} \frac{1}{\sqrt{2}}(|0\rangle |j\rangle |\lambda_j \frac{1}{4M^2}\rangle + |1\rangle |j\rangle |\lambda_j \frac{1}{4M^2}\rangle) \\ &\xrightarrow{R} \frac{1}{\sqrt{2}}(|0\rangle |j\rangle |\lambda_j \frac{1}{4M^2}\rangle + |1\rangle e^{2\pi i \lambda_j \frac{1}{2^E} 2^e} |j\rangle |\lambda_j \frac{1}{4M^2}\rangle) \\ &= \frac{1}{\sqrt{2}}(|0\rangle + e^{2\pi i \lambda_j \frac{1}{2^E} 2^e} |1\rangle) \otimes |j\rangle |\lambda_j \frac{1}{4M^2}\rangle \end{aligned}$$

Der Phasenbestimmungsalgorithmus verlangt neben der Ausführung von einer Hamiltoniansimulation  $U = e^{\frac{t}{\hbar^2} A^1}$  auch die Ausführung von  $U^2$  bis  $U^{2^{E-1}}$ .

$$U^{2^e} = S e^{\frac{t}{\hbar^2} \Delta 2^e} S \text{ für } e = 0, \dots, E - 1 \quad (21)$$

Die  $2^e$  fache Hamiltoniansimulation einer Diagonalmatrix kann einfach durch eine  $2^e$  fachen Multiplikation des Skalars  $k$  realisiert werden, welches eine  $2^e$  -fache Phasenverschiebung erzeugt. Die Laufzeit von  $U^2$  ist daher dieselbe wie von  $U^1$ .

Dieser Algorithmus wurde bei der Simulation auf einem klassischen Rechner nicht benutzt. Bei der Berechnung der Eigenwerte werden pro Schritt  $2s$  Qubits zusätzlich benutzt. Bei  $\log_2(r)$  Quadrierungen sind mindestens  $\log_2(r) \cdot 2s$  Qubits nötig. Bei  $r =$

8 und  $s = 6$  wird der Arbeitsspeicheraufwand für die Simulation allein für die Berechnung der Eigenwerte um den Faktor 12288 erhöht, welches auf einem Rechner mit 16 Gigabyte Arbeitsspeicher nicht simulierbar ist. Daher wird für die Hamiltoniansimulation der Diagonalmatrix kein Quantenschaltkreis benutzt. Stattdessen wird die Operation „ApplyDiagonalUnitary“ des Quantum Development Kits verwendet:

```

//Index beschreibt die 2^Index -fache Ausfuehrung der
//Hamiltoniansimulation, qubits: das Register C
operation HamiltonianSimulation(index: Int, qubits: Qubit[],
c_length: Int, eigenvalues: Double[][][], ancilla: Qubit): () {
  body {
    DST(qubits, ancilla);
    ApplyDiagonalUnitary(eigenvalues[index], BigEndian(
      qubits[c_length-1..-1..0]));
    (Adjoint DST)(qubits, ancilla);
  }
}

```

### 3.4.2 Hamiltoniansimulation von multidimensionalen Poissonmatrizen

Poissonmatrizen mit der Dimension  $d$  können durch Zerlegung mit Hilfe von eindimensionalen Poissonmatrizen  $A_1$  realisiert werden. Aus (12) ist bekannt, dass  $A_d = A_{d=1} \otimes I \otimes \dots \otimes I + I \otimes A_{d=1} \otimes I \otimes \dots \otimes I + \dots + I \otimes \dots \otimes A_{d=1}$ . Die Hamiltoniansimulation von  $e^{\frac{1}{\hbar^2}tA_d}$  ist:

$$\begin{aligned}
 e^{\frac{1}{\hbar^2}tA_d} &= e^{\frac{1}{\hbar^2}t(A_{d1} \otimes I \otimes \dots \otimes I + I \otimes A_{d1} \otimes I \otimes \dots \otimes I + \dots + I \otimes \dots \otimes A_{d1})} \\
 &= e^{\frac{1}{\hbar^2}tA_1} \otimes e^{\frac{1}{\hbar^2}tA_1} \otimes \dots \otimes e^{\frac{1}{\hbar^2}tA_1}
 \end{aligned}
 \tag{22}$$

Die Simulation einer  $d$  - dimensionalen Poissonmatrix wird durch die parallele Ausführung von  $d$  eindimensionalen Hamiltoniansimulationen durchgeführt. Abbildung 11

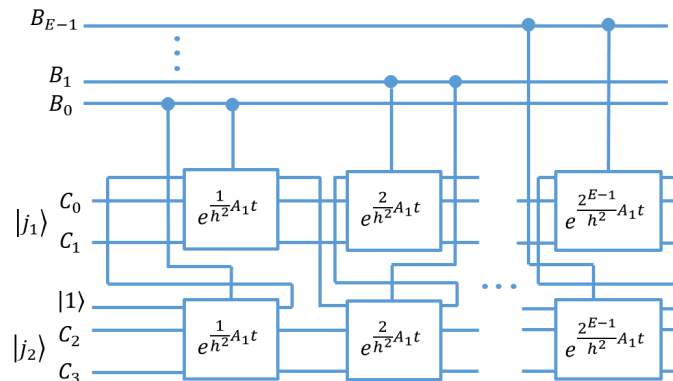


Abbildung 11: Phasenbestimmung einer Hamiltoniansimulation für  $M=2$  und  $d=2$  zeigt den Schaltkreis dieser Simulation. Dabei wird das Eingaberegister  $C$  in  $\log_2(M)$

Qubit Blöcke unterteilt und jeweils mit  $e^{\frac{1}{\hbar^2}A_1}$  simuliert. Das Hilfsqubit, welches zur Auswahl der Sinustransformation genutzt wird, kann für alle Hamiltoniansimulationen wiederverwendet werden, da es stets im Zustand  $|1\rangle$  bleibt. Die Berechnung der Eigenwerte wohingegen müssen pro Hamiltoniansimulation einmal durchgeführt werden. Da die Simulation von  $e^{\frac{1}{\hbar^2}A_1}$  mit einer Eingabe arbeitet, die nicht  $|0\rangle$  ist, dürfen alle ( $d$  viele)  $\log_2(M)$  Blöcke sich nicht in einem Nullzustand befinden. Dies erzeugt die Ein- und Ausgabecodierung des Registers C, welche in Kapitel 3.3 beschrieben ist. Seien die Simulationskosten von  $A_1$   $\mathcal{O}(\log_2(M)^2)$ , so kostet die Simulation von mehrdimensionalen Problem  $\mathcal{O}(d \log_2(M)^2)$ . Durch diesen Trick wird effektiv der „Fluch der Dimensionen“ gebrochen und eine exponentielle Laufzeitbeschleunigung erzielt.

### 3.4.3 Register B und Messung der verschränkten Eigenwerten

In diesem Kapitel wird die Auswirkungen des Phasenbestimmungsalgorithmus auf Register B und C analysiert. Damit PEA den Anfangszustand  $|0\dots 0_E\rangle |\vec{b}\rangle$  zu  $\sum_j b_j |\sim \lambda_j\rangle |u_j\rangle$  verwandelt, muss Register B groß genug sein, um die Eigenwerte  $\lambda_j$  effektiv zu speichern. Die Eigenwerte einer multidimensionalen Poissonmatrix setzen sich aus der Kombination aus Eigenwerten von  $\frac{1}{\hbar^2}A_1$  zusammen [2]. So sind die Eigenwerte bei einer zweidimensionalen Poissongleichung:

$$\lambda_{j,k} = 4M^2 \sin^2\left(\frac{j\pi}{2M}\right) + 4M^2 \sin^2\left(\frac{k\pi}{2M}\right) \quad j, k = 1, \dots, M - 1$$

Somit kann die Einschätzung gemacht werden, wie groß die Eigenwerte einer multidimensionalen Poissonmatrix werden:

$$\lambda_{max} = 4dM^2 \sin^2\left(\frac{(M-1)\pi}{2M}\right) \leq 4dM^2 \quad (23)$$

Damit also Register B die Eigenwerte als Ganzzahl auflösen kann, muss es aus  $E = \log_2(4dM^2) = 2 + \log_2(d) + 2 \log_2(M)$  Qubits bestehen. Für folgende Messung wird das Beispiel 1 verwendet, welches folgende Eigenwerte und Eigenvektoren hat:

$$\text{Beispiel 1 : } A = \begin{pmatrix} 32 & -16 & 0 \\ -16 & 32 & -16 \\ 0 & -16 & 32 \end{pmatrix} \text{ mit } \vec{b} = \begin{pmatrix} 1 \\ 0 \\ 0 \end{pmatrix}$$

$$\lambda_1 = 9,37 \quad \lambda_2 = 32 \quad \lambda_3 = 54,62 \quad \vec{u}_1 = \begin{pmatrix} 0,5 \\ \frac{\sqrt{2}}{2} \\ 0,5 \end{pmatrix} \quad \vec{u}_2 = \begin{pmatrix} \frac{1}{\sqrt{2}} \\ 0 \\ -\frac{1}{\sqrt{2}} \end{pmatrix} \quad \vec{u}_3 = \begin{pmatrix} 0,5 \\ -\frac{\sqrt{2}}{2} \\ 0,5 \end{pmatrix}$$

Der Phasenbestimmungsalgorithmus, angewendet auf  $\vec{b}$ , sollte im Idealfall die Eingabe in eine Superposition von Eigenzuständen und Eigenwerten verwandeln:

$$|0\dots 0_E\rangle |\vec{b}\rangle \xrightarrow{\text{PEA}} \frac{1}{2} |9,37\rangle \begin{pmatrix} 0,5 \\ \frac{\sqrt{2}}{2} \\ 0,5 \end{pmatrix} + \frac{1}{\sqrt{2}} |32\rangle \begin{pmatrix} \frac{1}{\sqrt{2}} \\ 0 \\ -\frac{1}{\sqrt{2}} \end{pmatrix} + \frac{1}{2} |54,62\rangle \begin{pmatrix} 0,5 \\ -\frac{\sqrt{2}}{2} \\ 0,5 \end{pmatrix} \quad (24)$$

Eine Messung des Registers B sollte beispielsweise mit einer Wahrscheinlichkeit von 50% den Eigenwert 32 ergeben und den Zustand des Register C in eine Superposition bringen, welche dem Eigenzustand  $u_2$  gleicht. Abbildung 12 zeigt die Verteilung der

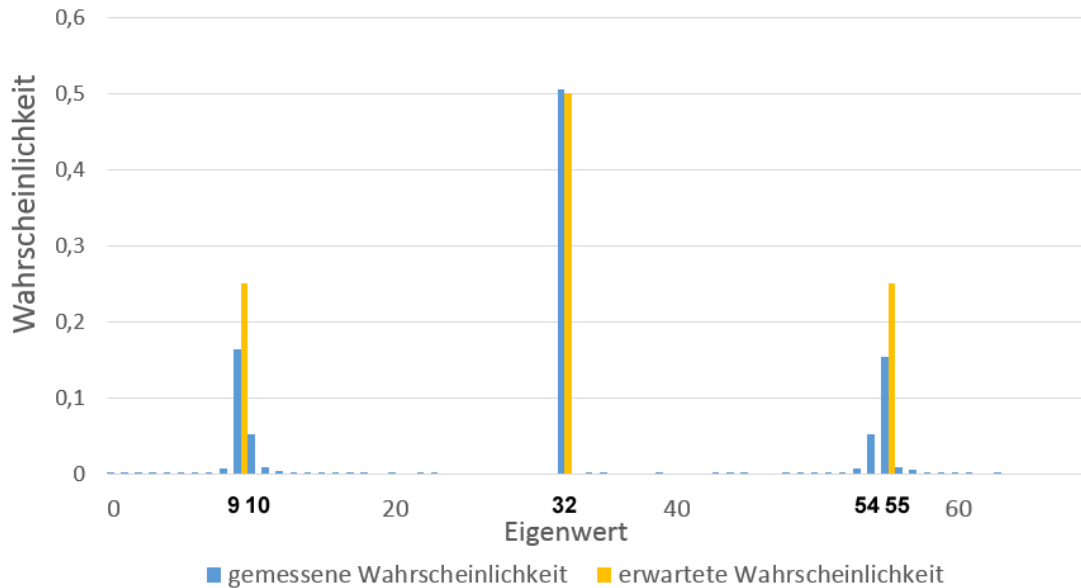


Abbildung 12: Zustandsverteilung des Registers B bei 1000 Messungen

Zustände des Registers B nach 1000 Messungen. Der Phasenbestimmungsalgorithmus erzeugt eine exakte Verteilung um die Eigenwerte, wenn die Eigenwerte selbst von Register B genau aufgelöst werden können. Eigenwert 32 wird exakt mit seiner Amplitude wiedergespiegelt, da er eine Ganzzahl ist. Eigenwert 9,37 und 54,62 können nicht exakt mit einer ganzen Zahl gespeichert werden. PEA erzeugt dabei eine Verteilung um den Eigenwert. In der Messung ist zu sehen, dass die Eigenwerte  $\lambda_1$  zum größten Teil zu  $|9\rangle$  und  $\lambda_3$  zum Zustand  $|55\rangle$  führen. Würde für Register B ein Qubit mehr benutzt werden ( $E = E + 1$ ), so können Eigenwerte mit der Auflösung  $2^{-1}$  gespeichert werden. Die Zustandsverteilung um den Eigenwert wäre damit genauer, wodurch letztendlich die Genauigkeit der Lösung verbessert wird.

Nun muss noch gezeigt werden, dass die Eigenwerte mit den Eigenzuständen verschränkt sind. Dies kann validiert werden, indem man Register B misst und die Zustandsverteilung des Registers C analysiert. Eine Superposition (oder Eigenzustand) kann dabei auch direkt mit Hilfe des Quantum Development Kits ausgelesen werden. Die Funktion „DumpRegister (location : 'T, qubits : Qubit[])“ gibt die Amplituden der Superposition aus, solange die zu messenden Qubits nicht mit anderen Qubits verschränkt sind. Nach der Messung eines Eigenwertes wird Register C zum zugehörigen Eigenzustand gebracht, wobei die Verschränkung zwischen B und C bricht.

Abbildung 13 zeigt drei verschiedene Messungen der Register B und C. Es ist zu

```

Eigenvalue: 9
with Eigenstate:
Ids: [1;0;]
Wavefunction:
0: 0 0
1: 0.163482 -0.474356
2: 0.260048 -0.654901
3: 0.163482 -0.474356
-----
Eigenvalue: 32
with Eigenstate:
Ids: [1;0;]
Wavefunction:
0: 0 0
1: -0.607445 0.376041
2: 0.00640737 0.0103503
3: 0.594853 -0.368246
-----
Eigenvalue: 55
with Eigenstate:
Ids: [1;0;]
Wavefunction:
0: 0 0
1: 0.494515 0.0848249
2: -0.69925 -0.087001
3: 0.494515 0.0848249

```

Abbildung 13: Auszug aus DumpRegister(RegC) bei Eigenwerten 32, 55 und 9. Spalte 1 beschreibt den Zustand. Spalte 2 zeigt den reellen Teil und Spalte 3 den imaginären Teil der Amplitude

erkennen, dass die komplexen Amplituden der Zustände genau zu den Eigenvektoren passen, die zu den Eigenwerten gehören. Dabei sind die Eigenzustände um eine globale Phase verschoben. Beispielsweise befindet sich Register C bei Eigenwert 9 in  $\sim e^{-2\pi i 0,19} \vec{u}_1$ . Diese Phasenverschiebung entspricht der globalen Phase, welches das Quantum Development Kit zufällig beim Initialisieren erzeugt. Die globale Phase des Systems hat keinen Einfluss auf den Algorithmus und die Lösung des Problems.

### 3.5 Kehrtwertberechnung der Eigenwerte

Wie Kapitel 3.4 zeigt, transformiert der Phasenbestimmungsalgorithmus die Eingabe  $\vec{b}$  in eine Superposition von Eigenzuständen:  $\sum_j b_j \vec{u}_j$ . Wenn die Amplituden dieser Superposition mit dem Kehrwert der Eigenwerte multipliziert werden, so entspricht das der Lösung  $A^{-1}\vec{b}$ . In diesem Kapitel wird ein Quantenschaltkreis entwickelt, der den Kehrtwert der Eigenwerte in ein Register speichert. Dabei werden zwei Methoden gezeigt, wie diese mit Hilfe von zwei zusätzlichen Hilfsqubits approximiert werden können. A besteht dabei aus  $n=\max(E, 8)$  Qubits.

#### 3.5.1 Methode A: Approximation durch feste Eingabe/Ausgabe

Methode A beschreibt ein hybrides Verfahren. Für  $\lambda_j$ , die kleiner als 16 sind, wird eine feste Ausgabecodierung verwendet. Für größere Eigenwerte wird eine Abschätzung des

Kehrwertes gemacht:

$$\frac{1}{\lambda_j} \approx \frac{1}{2^p} \quad p \in \mathbb{R} \text{ mit } |2^p - \lambda_j|_{\min} \quad (25)$$

$2^p$  beschreibt dabei einen Exponenten der Basis zwei, welcher dem Eigenwert nahe liegt. Für dieses Verfahren iteriert der Schaltkreis über die Qubits aus Register B und beginnt bei der Wertigkeit  $2^{E-1}$  und geht bis  $2^4$ . Hat die binäre Repräsentation des Eigenwertes an der Stelle zweimal die eins in Folge, so ist  $2^p > \lambda_j$ . Wenn ein  $|10\rangle$  Block gelesen wird, so wird abgerundet. Die Iteration bricht ab, sobald die erste eins gelesen wird. Hilfsqubit<sub>1</sub> beschreibt dabei die Abbruchbedingung für die Iteration. Die

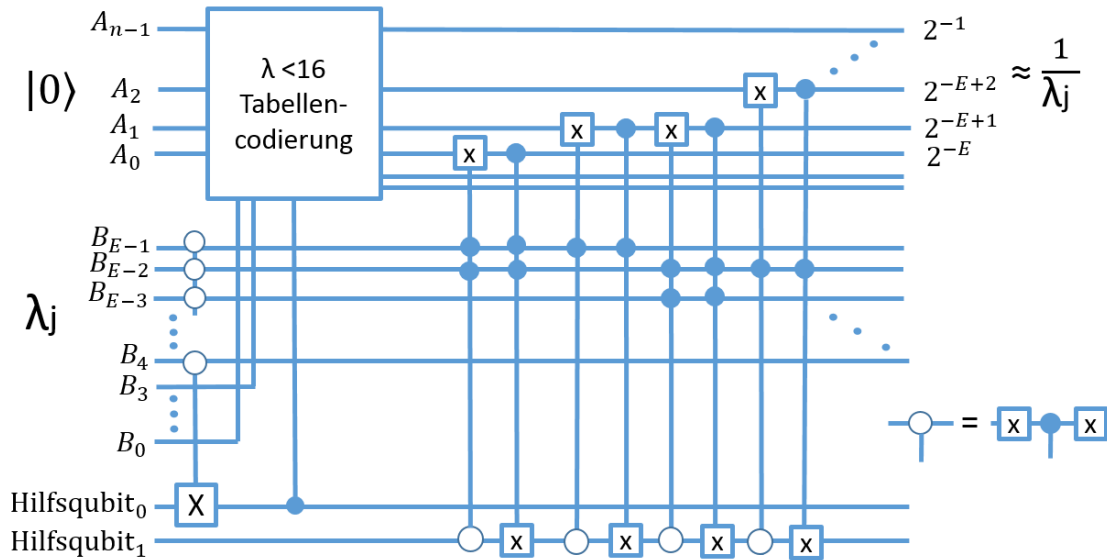


Abbildung 14: Schaltkreis von Methode A zur Kehrwertberechnung

Ausgabecodierung für  $\lambda_j < 16$  entspricht dabei Abbildung 15. Zweck dieser direkten Codierung ist die genauere Approximation von großen Kehrwerten. Der absolute Fehler, der durch (25) erzeugt wird, ist bei kleineren Eigenwerten größer, weshalb ein hybrides Verfahren genutzt wird. Die Implementierung der Codierungstabelle wird dabei durch 14 „advancedCNOT“ Gatter, welche in Kapitel 2.5 beschrieben werden, durchgeführt.

$$\text{Sei } |\Psi\rangle = \frac{1}{2} |9\rangle \begin{pmatrix} 0,5 \\ \frac{\sqrt{2}}{2} \\ 0,5 \end{pmatrix} + \frac{1}{\sqrt{2}} |32\rangle \begin{pmatrix} \frac{1}{\sqrt{2}} \\ 0 \\ -\frac{1}{\sqrt{2}} \end{pmatrix} + \frac{1}{2} |55\rangle \begin{pmatrix} 0,5 \\ -\frac{\sqrt{2}}{2} \\ 0,5 \end{pmatrix}$$

Methode A verschränkt Register A mit  $\Psi$ :

$$|\Psi\rangle |0..0_n\rangle \xrightarrow{\text{INV}_A} \frac{1}{2} |9\rangle \approx \frac{1}{9} \begin{pmatrix} 0,5 \\ \frac{\sqrt{2}}{2} \\ 0,5 \end{pmatrix} + \frac{1}{\sqrt{2}} |32\rangle \left| \frac{1}{32} \right\rangle \begin{pmatrix} \frac{1}{\sqrt{2}} \\ 0 \\ -\frac{1}{\sqrt{2}} \end{pmatrix} + \frac{1}{2} |55\rangle \left| \frac{1}{64} \right\rangle \begin{pmatrix} 0,5 \\ -\frac{\sqrt{2}}{2} \\ 0,5 \end{pmatrix}$$



$2^3$	$2^2$	$2^1$	$2^0$	$2^{-1}$	$2^{-2}$	$2^{-3}$	$2^{-4}$	$2^{-5}$	$2^{-6}$	$2^{-7}$	$2^{-8}$
0	0	1	0	1	0	0	0	0	0	0	0
0	0	1	1	0	1	0	1	0	1	0	1
0	1	0	0	0	1	0	0	0	0	0	0
0	1	0	1	0	0	1	1	0	0	1	1
0	1	1	0	0	0	1	0	1	0	1	0
0	1	1	1	0	0	1	0	0	1	0	0
1	0	0	0	0	0	1	0	0	0	0	0
1	0	0	1	0	0	0	1	1	1	0	0
1	0	1	0	0	0	0	1	1	0	0	1
1	0	1	1	0	0	0	1	1	0	0	1
1	1	0	0	0	0	0	1	0	1	0	1
1	1	0	1	0	0	0	1	0	0	1	1
1	1	1	0	0	0	0	1	0	0	1	0
1	1	1	1	0	0	0	1	0	0	0	1

Abbildung 15: Codierungstabelle für  $2 \geq \lambda_j < 16$ . Die linke Seite beschreibt die binäre Darstellung von  $\lambda_j$  und die rechte Seite zeigt die Ausgabe des Kehrwertes.

### 3.5.2 Methode B: Approximation durch Fixpunktiteration

Methode B nutzt das Newton-Raphson Divisionsverfahren zur Berechnung des Kehrwertes. Die Nullstelle für die Funktion  $f(x) = 1/x - \lambda_j$  ist  $\frac{1}{\lambda_j}$ . Die Nullstelle wird mit Hilfe eines Newtonverfahrens berechnet:

$$\begin{aligned}
 x_{i+1} &= x_i - \frac{f(x)}{f'(x)} \\
 &= x_i - \frac{\frac{1}{x} - \lambda_j}{-\frac{1}{x^2}} \\
 &\rightarrow x_{i+1} = 2x_i - \lambda_j x^2
 \end{aligned} \tag{26}$$

Für den Startwert  $x_0$  wird eine Approximation des Kehrwertes benutzt, der in (25) definiert ist. Methode B berechnet ähnlich wie Methode A eine Näherung des Kehrwertes  $\frac{1}{2^p}$  in Register A. Dabei kann Fall A ( $2^p \leq \lambda_j$ ) oder Fall B ( $2^p > \lambda_j$ ) auftreten. Um zu erkennen, welcher Fall eintritt, wird Hilfsqubit<sub>1</sub> verschränkt und auf  $|1\rangle$  gesetzt, wenn Fall B genutzt wird. Das Newtonverfahren erzeugt in der ersten Iteration für  $x_0 = \frac{1}{2^p}$ :

$$x_1 = \frac{2}{2^p} - \lambda_j \frac{1}{2^{2p}} = \frac{2^{p+1}}{2^{2p}} - \lambda_j \frac{1}{2^{2p}} = (2^{p+1} - \lambda_j) \frac{1}{2^{2p}} = (2^{p+1} + B2(\lambda_j)) \frac{1}{2^{2p}} \tag{27}$$

B2 beschreibt die Zweierkomplementdarstellung einer binären Zahl. B2X beschreibt die Zweierkomplementärdarstellung einer Zahl ohne die Invertierung der vorderen 0

<b>Fall A</b> $2^p \leq \lambda$  $\begin{array}{r} 01000\dots0 = 2^{p+1} \\ + 11 \boxed{B2X(\lambda)} = \boxed{B2(\lambda)} \\ \hline 00 \boxed{B2X(\lambda)} = \boxed{B2X(\lambda)} \end{array}$	<b>Fall B</b> $2^p > \lambda$  $\begin{array}{r} 10000\dots0 = 2^{p+1} \\ + 11 \boxed{B2X(\lambda)} = \boxed{B2(\lambda)} \\ \hline 01 \boxed{B2X(\lambda)} = \boxed{B2X(\lambda)} + 2^p \end{array}$
--	---

Abbildung 16: Fallunterscheidung für  $2^{p+1} + B2(\lambda_j)$

Bits.  $2^{p+1} + B2(\lambda_j)$  kann dabei leicht berechnet werden, indem eine Fallunterscheidung gemacht wird:

$$\text{Fall A : } 2^{p+1} + B2(\lambda_j) = B2X(\lambda_j) \rightarrow x_1 = B2X(\lambda_j) \frac{1}{2^{2p}} \quad (28)$$

Sei  $\lambda = 9$ , so entspricht die Approximation  $2^p = 2^3 = 8$ . Fall A tritt ein, sodass  $x_1$  wie folgt berechnet wird:

$$x_1 = \frac{2}{2^3} - 9 \frac{1}{2^6} = B2X(9) \frac{1}{2^6} = 7 \frac{1}{64} = 0,109 \approx \frac{1}{9}$$

$$\text{Fall B : } 2^{p+1} + B2(\lambda_j) = B2X(\lambda_j) + 2^p \rightarrow x_1 = B2X(\lambda_j) \frac{1}{2^{2p}} + \frac{1}{2^p} \quad (29)$$

Sei  $\lambda = 55$ , so entspricht die Approximation  $2^p = 2^6 = 64$ . Fall B tritt ein und damit entspricht  $x_1$ :

$$x_1 = \frac{2}{2^6} - 55 \frac{1}{2^{12}} = B2X(55) \frac{1}{2^{12}} + \frac{1}{2^6} = 9 \frac{1}{2^{12}} + \frac{1}{2^6} = 0,0178 \approx \frac{1}{55}$$

Um  $x_1$  zu konstruieren, muss der Quantenschaltkreis den Wert  $2^{-p}$  und das Zweierkomplement von  $\lambda_j$  speichern. Der Schaltkreis für dieses Verfahren wird in Abbildung 17 gezeigt. Aus Register A kann der Faktor  $2^{-2p}$ , sowie der Summand  $2^{-p}$  ausgelesen werden. Die Ausgabe des Verfahrens beschreibt eine spezielle Form der Quantengleitkommazahl mit Register A als einen Exponenten der Basis 2 und Register B als eine Mantisse. Der Algorithmus transformiert das Beispiel 1, welches sich in  $|\Psi\rangle$  befindet in:

$$|\Psi\rangle |0..0_n\rangle \xrightarrow{\text{INV}_B} \underbrace{\frac{1}{2} |7\rangle \left| \frac{1}{8} \right\rangle \begin{pmatrix} 0,5 \\ \frac{\sqrt{2}}{2} \\ 0,5 \end{pmatrix}}_{\text{Fall A}} + \underbrace{\frac{1}{\sqrt{2}} |32\rangle \left| \frac{1}{32} \right\rangle \begin{pmatrix} \frac{1}{\sqrt{2}} \\ 0 \\ -\frac{1}{\sqrt{2}} \end{pmatrix}}_{\text{Fall A}} + \underbrace{\frac{1}{2} |9\rangle \left| \frac{1}{64} \right\rangle \begin{pmatrix} 0,5 \\ -\frac{\sqrt{2}}{2} \\ 0,5 \end{pmatrix}}_{\text{Fall B}}$$

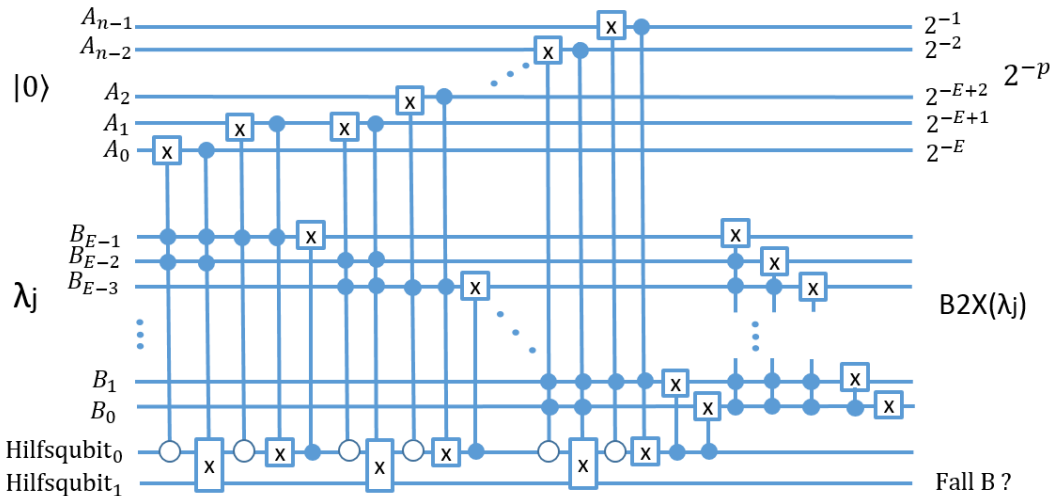


Abbildung 17: Schaltkreis für Methode B zur Kehrwertberechnung

### 3.5.3 Vergleich der Methoden

Methoden A und B erzeugen unterschiedliche Ausgaben. Während Methode A den Kehrwert als Fixkommazahl in Register B ausgibt, stellt Methode B den Kehrwert in Form einer Gleitkommazahl dar. Ist der Eigenwert ein Exponent der Basis 2, so wird der Kehrwert durch die Approximation  $2^{-p}$  von beiden Methoden exakt berechnet. Abbildung 18 zeigt die Kehrwertberechnung beider Methoden.

$\lambda$	Methode A	Methode B	$\lambda^{-1}$
4	0,25	0,25	0,25
6	0,164	0,125	0,166
9	0,1093	0,1093	0,1111
55	0,0156	0,0178	0,0181
90	0,0156	0,0093	0,0111
180	0,0078	0,0046	0,0055

Abbildung 18: Vergleich der Kehrwertapproximationen von Methode A und B

Für Eigenwerte, die kleiner als 16 sind, approximiert Methode A den Kehrwert mit Auflösung  $2^{-8}$  und ist damit generell genauer als Methode B. Wenn Poissongleichungen mit mehr Dimensionen oder durch eine höhere Gitterdiskretisierung  $M$  gelöst werden müssen, sind auch die Eigenwerte größer. Methode A nutzt dann für  $\lambda_j \geq 16$  die grobe Näherung  $2^{-p}$  aus (25). Methode B nutzt die gleiche Approximation als Startwert und führt einen Schritt der Fixpunktiteration zusätzlich aus. Dank der quadratischen Konvergenz des Newton-Verfahrens verbessert sich die Genauigkeit des Kehrwertes um das Doppelte. Methode B berechnet daher für  $\lambda_j \geq 16$  eine bessere Näherung als Methode A, welches sich auch in der Lösung der Poissongleichung widerspiegelt.

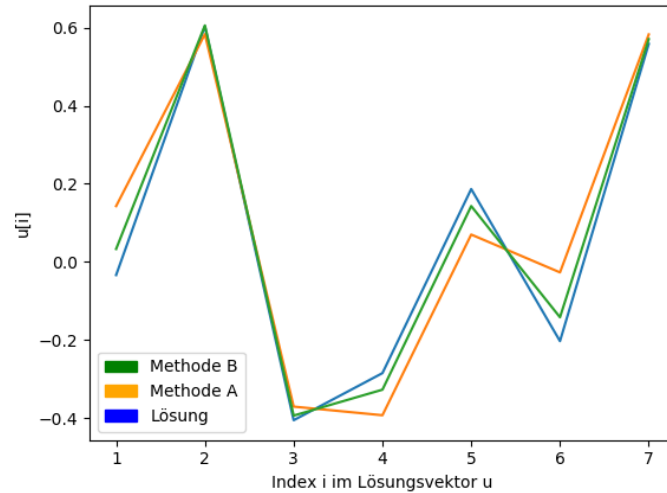


Abbildung 19: Ergebnisse des Algorithmuses mit Methode A und B für  $M = 8$ ,  $d = 1$ ,  $\alpha = 30$  und  $\vec{b} = (-0,23, 0,57, -0,39, -0,12, 0,29, -0,39, 0,45)^T$

### 3.6 Die kontrollierte Rotation und der Amplitudenfaktor

Dieses Kapitel beschreibt das Verfahren, wie der  $\alpha$ -fache Kehrwert  $\frac{1}{\lambda_j}$  in die  $|1\rangle$  Amplitude eines Hilfsqubits  $H_r$  rotiert werden kann ( $\alpha \in \mathbb{R}$ ). Ähnlich wie in dem Schaltkreis von Abbildung 10 geschieht dies durch kontrollierte Rotationen. Hierbei soll nicht die Phase, sondern die Amplitude beeinflusst werden, sodass mit  $R_y$  über die y-Achse der Blochkugel rotiert werden muss. Da Methode A und Methode B zwei unterschiedliche Ausgabencodierungen für den Kehrwert haben, muss die kontrollierte Rotation zur Methode angepasst werden. Während die kontrollierte Rotation von Methode A nur Register A benötigt, muss für Methode B Register A, B und ein weiteres Hilfsqubit verwendet werden. Der Quantenschaltkreis für die Rotation mit einer Fixkommazahl wird in Abbildung 20 gezeigt. Sei  $k_1 \dots k_n$  die binäre Repräsentation des Kehrwert-

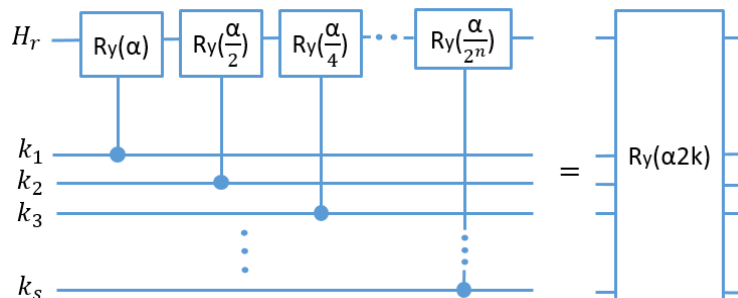


Abbildung 20: Kontrollierte Rotation des Qubits  $H_r$  für Methode A.

tes  $k \approx \lambda_j^{-1}$  mit Wertigkeitsreihenfolge  $2^{-1}$  bis  $2^{-n}$ . Das Verfahren erzeugt folgende

Rotation auf das Qubit  $H_r$ :

$$k_1 R_y(\alpha) \cdot k_2 R_y\left(\frac{\alpha}{2}\right) \cdot k_3 R_y\left(\frac{\alpha}{4}\right) \cdot \dots \cdot k_n R_y\left(\frac{\alpha}{2^n}\right) \quad k_i \in (0, 1) \quad \alpha \in \mathbb{R}$$

$$= R_y\left(k_1 \alpha + k_2 \frac{\alpha}{2} + k_3 \frac{\alpha}{4} + \dots + k_n \frac{\alpha}{2^n}\right) = R_y(\alpha 2k) = \begin{pmatrix} \cos \frac{\alpha 2k}{2} & -\sin \frac{\alpha 2k}{2} \\ \sin \frac{\alpha 2k}{2} & \cos \frac{\alpha 2k}{2} \end{pmatrix}$$

Diese Rotation angewendet auf ein Qubit, welches mit  $|0\rangle$  initialisiert ist, ergibt:

$$|k\rangle |0\rangle \xrightarrow{R_y} |k\rangle (\sqrt{1 - \sin^2(\alpha k)} |0\rangle + \sin(\alpha k) |1\rangle) \quad (30)$$

Um nun effektiv die Amplitude von  $|1\rangle$  auf den  $\alpha$ -fachen Kehrwert zu setzen, muss um den Winkel  $\arcsin(\alpha k)$  rotiert werden. Es müsste also vor der Anwendung der kontrollierten Rotation ein  $\arcsin$  Modul geben, welches auf Register A angewendet wird. In dieser Arbeit wird auf dieses Modul verzichtet und die Kleinwinkelnäherung genutzt:  $\alpha k \approx \sin(\alpha k)$   $\alpha k \in [0; 0.5]$ . Für Methode B muss eine Quantengleitkommazahl der Form  $B2X(\lambda_j)2^{-2p}$  in die Amplitude rotiert werden. Dies kann erreicht werden, indem eine kontrollierte Rotation der Mantisse  $k = B2X(\lambda_j)$  durchgeführt wird. Der binäre Exponent kann dabei wie  $\alpha$  direkt in den Rotationsgattern als Faktor implementiert werden. Da  $2^{-2p}$  nur zur Laufzeit bekannt ist und sich je nach Eigenwert unterscheidet, müssen  $E$  (= Anzahl der Qubits von Register A) unterschiedliche Exponenten implementiert werden. Dies geschieht durch  $E$  Verschränkungen mit Register A. Wie in Kapitel 3.5.2 beschrieben, kann Fall B auftreten, sodass zusätzlich noch um den Wert  $2^{-p}$  rotiert werden muss. Dies wird ebenfalls durch  $E$  verschränkte Rotationen durchgeführt, falls Hilfsqubit<sub>1</sub> (definiert in Abbildung 17) den Zustand  $|1\rangle$  hat. Abbildung 21 zeigt die Implementierung dieses Verfahrens. Wird die Rotation

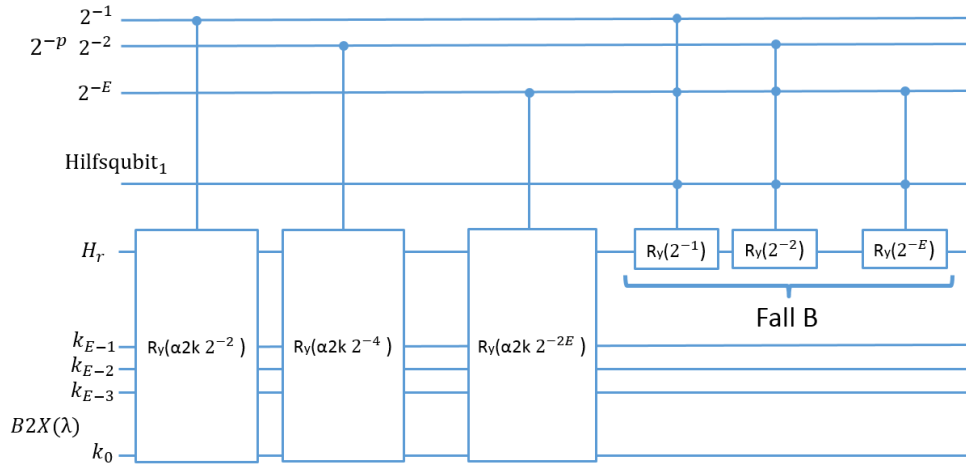


Abbildung 21: Kontrollierte Rotation des Qubits  $H_r$  für Methode B.

mit Methode A oder B korrekt ausgeführt, so befindet sich das Quantensystem bei idealer Kehrwertberechnung in:

$$\sum_j b_j |\vec{u}_j\rangle |\lambda_j\rangle |\lambda_j^{-1}\rangle |0\rangle \xrightarrow{R_y} \sum_j b_j |\vec{u}_j\rangle |\lambda_j\rangle |\lambda_j^{-1}\rangle (\sqrt{1 - \sin^2\left(\frac{\alpha}{\lambda_j}\right)} |0\rangle + \sin\left(\frac{\alpha}{\lambda_j}\right) |1\rangle)$$

$$\approx \sum_j b_j |\vec{u}_j\rangle |\lambda_j\rangle |\lambda_j^{-1}\rangle (\sqrt{1 - (\frac{\alpha}{\lambda_j})^2} |0\rangle + \frac{\alpha}{\lambda_j} |1\rangle) \text{ für } \alpha \leq \frac{\lambda_1}{2} \quad (31)$$

Da der Algorithmus nur dann Erfolg hat, wenn die Messung von  $H_r$   $|1\rangle$  ergibt, ist es wichtig zu wissen, wie hoch die Erfolgswahrscheinlichkeit ist. Da  $H_r$  mit allen anderen Qubits verschränkt ist, kann das Qubit nicht direkt mit Hilfe von „DumpRegister( $H_r$ )“ gemessen werden, da das System sich in einem nicht separierbaren Zustand befindet. Es kann jedoch das System aller Qubits mit „DumpMachine()“ ausgegeben werden. Um die Erfolgswahrscheinlichkeit zu messen, werden die Wahrscheinlichkeiten aller Zustände addiert, bei denen  $H_r$  den Zustand  $|1\rangle$  hat. Die Amplitude von  $H_r = |1\rangle$  ist:

$$\sqrt{\sum_j b_j^2 \sin^2\left(\frac{\alpha}{\lambda_j}\right)}$$

und damit ist die Erfolgswahrscheinlichkeit  $\Omega$  des Algorithmuses:

$$\Omega = \sum_j b_j^2 \sin^2\left(\frac{\alpha}{\lambda_j}\right) \quad (32)$$

Für Beispiel 1 und für einen Amplitudenfaktor  $\alpha = 1$  ergibt der Algorithmus eine Erfolgswahrscheinlichkeit von:  $\frac{1}{4} \sin^2\left(\frac{1}{9,37}\right) + \frac{1}{2} \sin^2\left(\frac{1}{32}\right) + \frac{1}{4} \sin^2\left(\frac{1}{54,67}\right) = 0,34\%$ . Man müsste daher durchschnittlich den Algorithmus 300 mal durchführen, um ein korrektes Ergebnis zu erhalten. Um dies zu verbessern, kann der Amplitudenfaktor  $\alpha$  erhöht werden. Bei  $\alpha = 2$  wird die Amplitude (unter der Annahme der Kleinwinkelnäherung) verdoppelt und damit die Erfolgswahrscheinlichkeit vervierfacht. Die Implementierung des Faktors  $\alpha$  wird direkt in den Rotationsgatter  $R_y$  realisiert. Bei einer Verdopplung des Amplitudenfaktors wird um den doppelten Winkel gedreht. Abbildung 22 zeigt die Auswirkungen des Amplitudenfaktors.

Es ist zu erkennen, dass der quadratische Fehler für Beispiel 1 stark ab  $\alpha = 8$  ansteigt. Grund dafür ist die Approximation durch die Kleinwinkelnäherung. Die rotierte Amplitude für Eigenwert 9,37 entspricht  $\sin\left(\frac{8}{9,37}\right) \neq \frac{8}{9,37}$ . Für die verschränkten Zustände mit größeren Eigenwerten ist der Kehrwert  $\frac{\alpha}{\lambda_j}$  kleiner, wodurch die Kleinwinkelnäherung nicht verletzt wird. Das lineare Verhältnis  $b_j$  zwischen den verschränkten Zuständen wird beeinflusst, sodass der Fehler der Ausgabe stark ansteigt. Der Amplitudenfaktor darf also nicht zu groß gewählt werden, damit keine fehlerhaften Ergebnisse ausgegeben werden. Das Produkt  $\alpha \frac{1}{\lambda_j}$  darf daher nicht größer als 0,5 sein. Dieses Produkt wird bei dem kleinsten Eigenwert am größten, sodass für den Amplitudenfaktor gilt:  $\alpha \leq \frac{\lambda_1}{2}$ . Dies ist keine Seltenheit bei Quantenalgorithmen. Oft muss eine gewisse Vorkenntnis gegeben sein, um Quantenalgorithmen effektiv durchzuführen. Der kleinste Eigenwert kann dabei so abgeschätzt werden:

$$\lambda_1 = 4dM^2 \sin^2\left(\frac{\pi}{2M}\right) \quad (33)$$

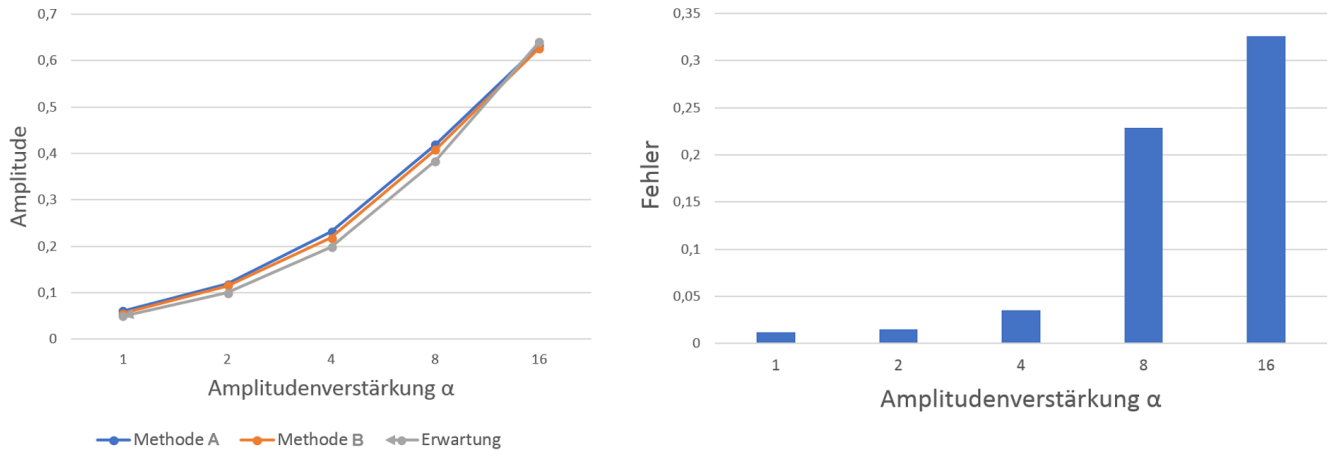


Abbildung 22: Links zeigt für Beispiel 1 die Auswirkungen von  $\alpha$  auf die Amplitude von  $H_r$  und rechts auf den quadratischen Fehler zur Lösung (bei Verwendung von Methode B)

Um für Beispiel 1 relativ genaue Ergebnisse zu erhalten, sollte ein Amplitudenfaktor von 4 nicht überschritten werden. Im Durchschnitt muss dadurch der Algorithmus etwa 25 mal durchgeführt werden. Wenn jedoch eine höhere Erfolgswahrscheinlichkeit erzielt werden soll, so kann der Amplitudenfaktor schrittweise erhöht werden. Oft ist der Faktor  $b_1$  der Linearkombination für  $\vec{b}$  null beziehungsweise  $\vec{u}_1$  ist nicht Teil der Linearkombination  $\sum_j b_j \vec{u}_j$ . Die Grenze des Amplitudenfaktors wäre damit nicht mehr abhängig von  $\lambda_1$ , sodass ein Amplitudenfaktor  $\alpha \leq \frac{\lambda_2}{2}$  gewählt werden kann. Amplitudenfaktor, Erfolgswahrscheinlichkeit und Fehler hängen daher von der Eingabe  $\vec{b}$ , Diskretisierung und Dimension ab. Da die Linearkombination prinzipiell nicht bekannt ist, wäre ein gutes Vorgehen, den Algorithmus mit kleinen Amplitudenfaktoren durchzuführen und  $\alpha$  schrittweise anzuheben, solange ein solides Ergebnis erzielt wird.

### 3.7 Das Modul UNCOMPUTE

Dieses Modul hat die Funktion, die Verschränkung zwischen Eigenzustand, Eigenwert und dem Kehrwert aufzuheben. Ohne die Ausführung des Moduls würde eine Messung des Qubits  $H_r$  mit der Erfolgswahrscheinlichkeit aus (32) zufällig zum Zustand  $|\vec{u}_j\rangle |\lambda_j\rangle \frac{1}{\lambda_j}$  führen. Um die normierte Lösung jedoch zu erhalten, müssen Register A und B freigegeben werden. Dies kann durch die inverse Ausführung von INV und PEA erreicht werden. Dabei werden die für die Module verwendeten adjungierten Operationen in umgekehrter Reihenfolge ausgeführt. Kennt man den Schaltplan zur Ausführung unitärer Transformationen, so kann auch die inverse Operation dazu implementiert werden. Das Quantum Development Kit automatisiert das Verfahren. Wird bei der Definition einer Operation der Schlüssel „adjoint auto“ verwendet, so kann über den Aufruf „(Adjoint U)(Parameter)“ die adjungierte Transformation

durchgeführt werden. Das Modul INV wird in Q# daher so realisiert:

```

|| (Adjoint INV) (RegB, RegA, Ancillas [1..2], methodA);
|| (Adjoint PEA) (RegB, RegC, Ancillas, dimension, size, ei genvalues);

```

Das Quantensystem befindet sich nach der Ausführung des Moduls in:

$$\begin{aligned}
|\Psi\rangle &\xrightarrow{INV^\dagger} \sum_j b_j |\vec{u}_j\rangle |\lambda_j\rangle |0\rangle (\sqrt{1 - \sin^2(\frac{\alpha}{\lambda_j})} |0\rangle + \sin(\frac{\alpha}{\lambda_j}) |1\rangle) \\
&\xrightarrow{PEA^\dagger} \sum_j b_j |\vec{u}_j\rangle |0\rangle |0\rangle (\sqrt{1 - \sin^2(\frac{\alpha}{\lambda_j})} |0\rangle + \sin(\frac{\alpha}{\lambda_j}) |1\rangle)
\end{aligned}$$

Die Eigenzustände sind nachher nur noch mit dem rotierten Qubit  $H_r$  verschränkt. Die Messung von Qubit  $H_r$  bricht die letzte Verschränkung zwischen  $H_r$  und  $\vec{u}_j$ . Wenn die Messung zum Zustand  $|1\rangle$  führt, hat der Algorithmus erfolgreich die Kehrwerte in die Amplituden der Eigenzustände gebracht:  $C \sum_j b_j \sin(\frac{\alpha}{\lambda_j}) |\vec{u}_j\rangle \otimes |1\rangle \approx C \sum_j b_j \frac{\alpha}{\lambda_j} |\vec{u}_j\rangle \otimes |1\rangle = CA^{-1}\vec{b} \otimes |1\rangle = \frac{\vec{u}}{\|\vec{u}\|} \otimes |1\rangle$ .  $C = (\sqrt{\sum_j (\frac{b_j \alpha}{\lambda_j})^2})^{-1}$  beschreibt eine Normalisierungskonstante und sorgt für die Normierung des Zustandes. Der Zustand in Register C beschreibt eine Superposition, welche der normierten Lösung der Poissongleichung gleicht.

### 3.8 Ergebnisse und Bewertung des Algorithmuses

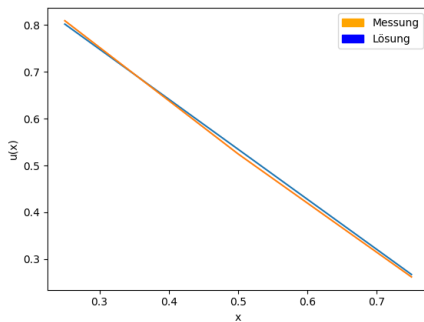
In diesem Kapitel wird die Laufzeit des Algorithmuses analysiert und erfolgreiche Ausgaben gezeigt. Der Quantenschaltkreis nutzt pro Dimension  $\log_2(M) + 2s \log_2(r)$   $s, r \in \mathbb{R}$  Qubits. Für PEA und die Kehrwertberechnung werden  $2E$  Qubits benötigt. Nebenbei werden 4 Hilfsqubits benutzt, wodurch der Algorithmus insgesamt  $(d(\log_2(M) + 2s \log_2(r)) + 2 \log_2(d) + 4 \log_2(M) + 8) \in \mathcal{O}(d \log_2(M))$  Qubits in Anspruch nimmt. Neben der Anzahl der Qubits, ist die Anzahl der Quantengatter beziehungsweise die Gatterlaufzeit ein wichtiger Aspekt. Die Simulation einer eindimensionalen Poissonmatrix geschieht in  $\mathcal{O}(\log_2(M)^2)$ , da einerseits die Sinustransformation und andererseits bei der Berechnung der Eigenwerte arithmetische Operationen eine quadratische Laufzeit haben. Die Simulation von multidimensionalen Problemen geschieht durch die Simulation von  $d$  - eindimensionalen Hamiltoniansimulationen. Durch PEA werden die Simulationen jeweils  $E$  ( $E \in \mathcal{O}(\log_2 M + \log_2 d)$ ) mal ausgeführt, wodurch der Phasenbestimmungsalgorithmus eine Laufzeit von  $\mathcal{O}(d \log_2(M)^3 + d \log_2(d) \log_2(M)^2)$  hat. Die Kehrwertmodule für Methode A und B werden in linearer Laufzeit zu  $E$  durchgeführt. Die kontrollierte Rotation für Methode A nutzt  $E$  kontrollierte Rotationsgatter, wohingegen Methode B die kontrollierte Rotation der Mantisse zusätzlich  $E$  mal öfter anwenden muss als Methode A. Die Laufzeit einer Iteration des Schaltkreises ist für beide Methoden daher durch PEA der Poissonmatrix  $\mathcal{O}(d \log_2(M)^3 + d \log_2(d) \log_2(M)^2)$  beschrieben, da er der aufwendigste Teil des Algorithmuses ist. Wie in Kapitel 3.6.3 erläutert, hat der Algorithmus eine gewisse Erfolgswahrscheinlichkeit  $\Omega$ . Daher ist es wichtig, zu wissen, wie hoch diese mindestens ist und wie viele Iterationen maximal



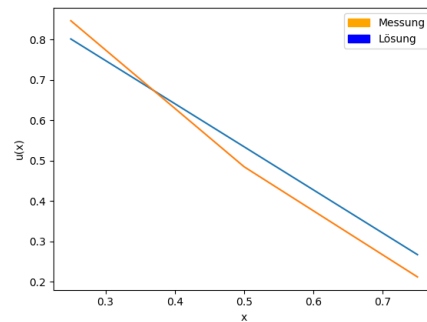
durchgeführt werden müssten, um im Durchschnitt ein Ergebnis zu erhalten. Aus Kapitel 3.6.3 ist bekannt, dass der Amplitudenfaktor  $\alpha$  nicht größer als  $\frac{\lambda_1}{2}$  sein darf, um große Fehler zu vermeiden. Dabei wäre die Erfolgswahrscheinlichkeit laut (32) am kleinsten, wenn das lineare Verhältnis  $b_j$  größten Teils auf Zustände mit größeren Eigenwerten fällt. Die minimale Erfolgswahrscheinlichkeit ist daher:

$$\Omega_{min} = \sin\left(\frac{\lambda_1}{\lambda_{(M-1)^d}}\right)^2 \approx \frac{\lambda_1^2}{\lambda_{(M-1)^d}^2} = \frac{1}{\kappa_2^2} \quad (34)$$

Der Algorithmus muss also im schlimmste Fall  $\kappa_2^2$  mal iteriert werden, um ein Ergebnis zu erhalten. Dabei ist zu erwähnen, dass die Konditionszahl  $\kappa_2$  nicht abhängig von der Dimension ist. Ist M kleiner, so liegen die Eigenwerte näher aneinander, wodurch die Kondition kleiner wird. Der Quantenalgorithmus ist bezüglich der Kondition schlechter als klassische Verfahren wie das CG-Verfahren, die eine Laufzeit linear zu  $\kappa_2$  haben. Dafür kann der Algorithmus bezüglich Dimension und Gitterdiskretisierung die Lösung in Form einer Superposition mit exponentieller Laufzeitbeschleunigung berechnen. Die Dimension wird zum linearen Faktor der Laufzeit, wodurch der Fluch der Dimensionen effektiv gebrochen wird. Im Folgenden werden Ergebnisse des Quantensimulators mit unterschiedlichen Amplitudenfaktoren gezeigt. Dabei wird bei erfolgreicher Messung das Register C mit „DumpRegister(RegC)“ gemessen. Oft gibt DumpRegister bei Erfolg kein Ergebnis aus, da die Qubits aus Register C noch minimal mit anderen Qubits verschränkt sind. Grund dafür könnte eine nicht exakte Umkehrung der Operation im Modul UNCOMPUTE sein, wodurch Verschränkungen nicht ganz aufgehoben werden. Abbildung 23 zeigt das Ergebnis für Beispiel 1 bei einem starken und schwachen Amplitudenfaktor. Während für  $\alpha = 3$  die Erfolgs-



(a)  $\alpha = 3 \quad \Omega \approx 3\%$



(b)  $\alpha = 10 \quad \Omega \approx 25\%$

Abbildung 23: Messung des Register C bei Erfolg für Beispiel 1. Dabei wurde Methode B zur Kehrwertberechnung genutzt.

wahrscheinlichkeit bei 3% liegt, liegt sie bei  $\alpha = 10$  schon bei 25%, wodurch der Algorithmus im Durchschnitt nur 4 mal ausgeführt werden muss. Nachteilhaft ist dabei die Verletzung der Kleinwinkelnäherung verletzt, sowie die Überrotation des Qubits  $H_r$ , sodass bei großen Amplitudenfaktoren größere Fehler zu erkennen sind. Die drei

zu lösenden Unbekannten für Beispiel 1 sind sehr einfach zu berechnen. Wenn hingegen eine große Diskretisierung  $M$  verwendet wird, werden zum einem mehr Qubits benötigt und zum anderen wird die Kondition des Problems schlechter. Mehr Qubits bedeuten, dass mehr Arbeitsspeicher gebraucht wird, um das System zu simulieren. Abbildung 24 zeigt die Simulationsergebnisse für  $M=16$  und  $d=1$ . Der Quantensimu-

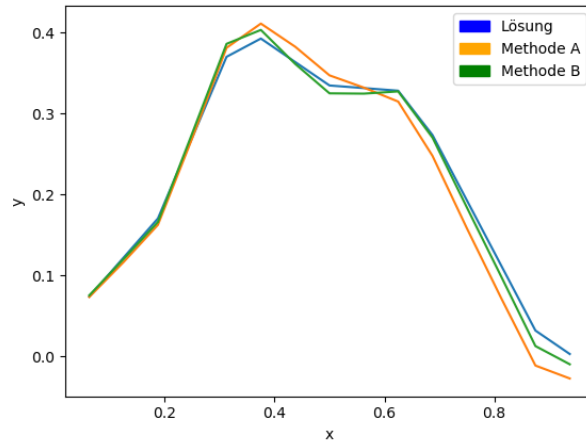
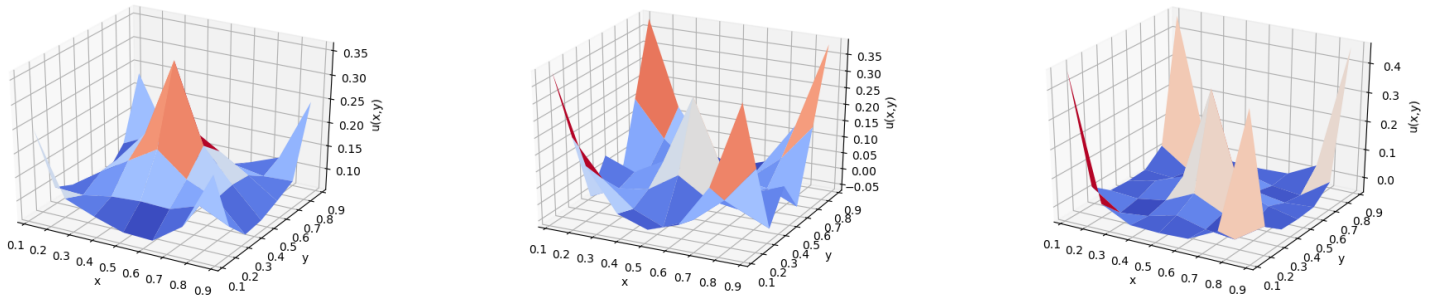


Abbildung 24: Ergebnis für das Problem:  $M=16$ ,  $d=1$ ,  $\vec{b} = (0,18, 0, -0,37, 0, 0,55, 0,37, 0, -0,18, 0, 0,37, 0,18, 0, 0, -0,37, -0,18)^T$ ,  $\alpha = 10$ ,  $\Omega \approx 5\%$

lator nutzte dabei 29 Qubits. Wegen dem exponentiellen Wachstum des Hilbertraums bezüglich der Anzahl an Qubits wurde für dieses Problem etwa 13 Gigabyte Arbeitsspeicher benötigt. Je größer  $M$  desto größer die Kondition und desto kleiner die Erfolgswahrscheinlichkeit des Verfahrens. Selbst bei einem Amplitudenfaktor von 8, musste etwa 20 mal iteriert werden, bis ein solides Ergebnis erzielt worden ist. Neben Problemen mit höherer Gitterdiskretisierung können auch mehrdimensionale Probleme gelöst werden. Durch die parallele Ausführung der Hamiltoniansimulation muss bei einem mehrdimensionalen Problem die Eingabe- und Ausgabecodierung aus Kapitel 3.1 beachtet werden. Für  $M=8$  und  $d=2$  wird beispielsweise  $\beta_1$  durch die Amplitude des Zustandes  $|9\rangle$  repräsentiert. Abbildung 25 zeigt das Ergebnis für eine Poissongleichung mit kleinen Potentials (zB. Wärmerezeuger) in den Ecken und einem großen Potential in der Mitte des zweidimensionalen Einheitsraumes. Die Simulation erforderte ebenso 29 Qubits und braucht etwa 15 Minuten pro Iteration. Während mit  $\alpha = 8$  der Algorithmus nach fünf Stunden ein Ergebnis erzielte, hat es für  $\alpha = 300$  nur zwei Iterationen gebraucht. Für eine grobe Approximation der Lösung reicht es also große Amplitudenfaktoren zu nehmen. Für genauere Lösungen muss abhängig von der Kondition mehr iteriert werden. Die Ergebnisse zeigen, dass der Algorithmus grobe Approximationen, sowie genauere Ergebnisse der normierten Lösung ausgeben kann. Es stellt sich die Frage, ob Poissongleichungen auf einem echten Quantencomputer gelöst werden sollten. Ist man an den diskreten Werten der Lösung interessiert, so kann diese Frage klar mit nein beantwortet werden. Der Algorithmus erzeugt die



(a) normierte Lösung

(b) Messung mit  $\alpha = 30$   $\Omega \approx 3\%$

(c) Messung mit  $\alpha = 300$   $\Omega \approx 71\%$

Abbildung 25: Messung des Register C bei Erfolg für  $M=8$ ,  $d=2$ ,  $b=(0,46_1, 0_2, \dots, 0,46_7, 0_8, \dots, 0,37_{24}, 0_{25}, \dots, 0,46_{43}, 0_{44}, \dots, 0,46_{49})^T$ . Für die Kehrwertberechnung wurde Methode B genutzt.

normierte Lösung in Form einer Superposition in Register C. Superpositionen können dabei nicht direkt gemessen werden. Man müsste bei einer Lösung aus  $N$  Unbekannten, den Algorithmus mehr als  $\mathcal{O}(N)$  mal erfolgreich ausführen, um die Amplituden einer Superposition auszulesen. Auch wenn die Lösung der Größe  $N$  perfekt konstruiert werden kann, so hat das Auslesen der Unbekannten  $\mathcal{O}(N)$ . Einen Algorithmus zu entwickeln, der logarithmisch zu  $N$  läuft, ergibt also keinen Nutzen, solange das „Read Out Problem“ besteht. Ist man jedoch nicht direkt an den Werten der Lösung, sondern an das Ergebnis eines Operators  $\langle \vec{u} | U | \vec{u} \rangle$  interessiert, so kann es sich lohnen. Beispielsweise kann sehr einfach ein Messoperator auf Register C angewendet werden. Da die diskreten Funktionswerte der Lösung den Amplituden entsprechen, wird bei einer Messung des Registers mit hoher Wahrscheinlichkeit eine Maximalstelle der Poissonlösung herauskommen. Ist man an einem zufälligen Fourierkoeffizienten der Lösung interessiert, so kann die Quantenfouriertransformation auf  $\vec{u}$  angewendet werden. Quantencomputer erzeugen genau dann gegenüber klassische Rechner einen Vorteil, falls man an eine bestimmte Korrelation zwischen diskreten Funktionswerten interessiert ist. Daher kann sich die Berechnung auf einem echten Quantencomputer lohnen, falls man zum Beispiel Maxima/Minima oder Periodizitäten der Lösung berechnen will.

## 4 Weitere Forschungsmöglichkeiten

Diese Arbeit kann in vielen Bereichen noch weiterentwickelt werden. Beispielsweise könnte ein arcsin-Modul implementiert werden, um das Problem der Kleinwinkelnäherung zu umgehen. Damit kann der Amplitudenfaktor auf  $\lambda_1$  gesetzt werden, wodurch zum einen eine Vervierfachung der Mindesterfolgswahrscheinlichkeit  $\Omega_{min}$  und zum anderen kleinere Fehler erreicht werden. Auch bietet die Realisierung auf einem ech-

ten Quantencomputer neue Herausforderungen. Momentan (Stand März 2019) arbeitet IBM an einem 50 Qubit Quantencomputer. 50 Qubits könnten ausreichen, um kleine Poissongleichungen zu lösen. Dabei könnte man versuchen, Probleme zu konstruieren, deren Hamiltoniansimulation durch einfache Anwendung von Pauligattern realisiert werden kann. Das schwierigste und größte Problem bei einem echten Quantencomputer ist die Dekohärenz. Unter Dekohärenz versteht man den zufälligen Verlust der Superposition. Dies kann durch thermische Einflüsse von außen entstehen, wodurch Quantencomputer oft Fehlerraten von bis zu 70% haben. Die Dekohärenzzeit, der Zeitpunkt ab dem die Qubits dekohärieren, bestimmt eine maximale Gattertiefe. Der Algorithmus muss daher bezüglich Gatterlaufzeit optimiert werden. Neben der Dekohärenz können bei Qubits zufällige Phasen- und Bitflips passieren. Es können Quantenfehlerkorrekturcodes wie Shor-Code verwendet werden, um diese Fehler zu erkennen und zu korrigieren[6]. Oft müssen dabei mehrere Qubits zueinander verschränkt werden, um ein Qubit stabil zu halten. Neben IBM forschen viele andere Firmen an der Realisierung eines stabilen Quantencomputers. Quantencomputer selbst können dabei auf unterschiedliche Weise gebaut werden. Ob sich das Mooresche Gesetz dabei auch für Quantencomputer durchsetzen wird, wird sich in vielleicht naher Zukunft zeigen.

## Literatur

- [1] G. Benenti, G. Casati, D. Rossini, and G. Strini. *Principles of Quantum Computation and Information*. World Scientific, 2019.
- [2] Y. Cao, A. Papageorgiou, I. Petras, J. Traub, and S. Kais. Quantum algorithm and circuit design solving the poisson equation. 2012.
- [3] A. W. Harrow, A. Hassidim, and S. Lloyd. Quantum algorithm for solving linear systems of equations. 2008.
- [4] A. Klappenecker and M. Roetteler. Discrete cosine transforms on quantum computers. 2001.
- [5] D. Kulkarni, D. Schmidt, and S.-K. Tsui. Eigenvalues of tridiagonal pseudo-toeplitz matrices. 1997.
- [6] M. Nakahara and T. Ohmi. *Quantum Computing - From Linear Algebra to Physical Realizations*. Taylor & Francis Group, 2008.
- [7] A. Papageorgiou and C. Zhang. On the efficiency of quantum algorithms for hamiltonian simulation. 2010.
- [8] A. N. Soklakov and R. Schack. Efficient state preparation for a register of quantum bits. 2004.

- [9] V. Vedral, A. Barenco, and A. Ekert. Quantum networks for elementary arithmetic operations. 1995.